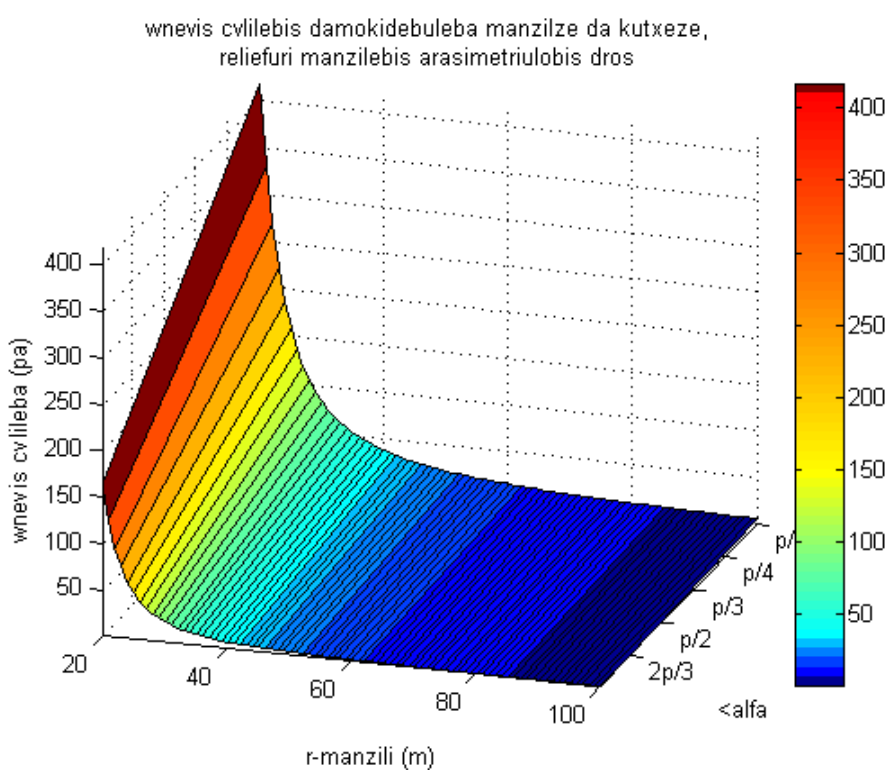


# საქართველოს ტექნიკური უნივერსიტეტის ჰიდროგეოტერმოლოგიის ინსტიტუტი

საქართველოს რეგიონალური მიკროცირკულაციური  
ჰიდროგეოტერმოლოგიური შესტაცია ატმოსფერული  
ჰიდროგეოტერმოლოგიური მოდელების ბაზალობის მიხედვის  
მიზნით



2016

საქართველოს ტექნიკური უნივერსიტეტის

პიდრომეტეოროლოგიის ინსტიტუტი

შ0340 № IHM-16-27- GTU- CD-3390

„ვამტკიცებ”

დირექტორი

ბექ. აკად. დოქტორი

---

თ.ცინცაძე

25 დეკემბერი 2016

უაბ: 551.501.8

საქართველოს რეგიონალური მიკროცირკულაციური პროცესების დინამიკის  
შესწავლა ატმოსფერული პროცესების არსებული მოდელების ბაზმობების  
მიხედვით

(დასკვნითი ანგარიში)

ამინდის პროგნოზირების, ბუნებრივი

და ტექნიკური კატასტროფების

მოდელირების განყოფილების გამგე

ფიზ.-მათ. აკად. დოქტორი

მ. ტატიშვილი

თბილისი - 2016

თემის შემსრულებლები:

1. ზურაბ ხვედელიძე

თემის ხელმძღვანელი,

უფროსი მეცნ. თანამშრომელი

ფიზ.-მათ. მეცნიერებათა დოქტორი

2. დემური დემეტრაშვილი,

მეცნ. თანამშრომელი,

ფიზ.-მათ. მეცნიერებათა დოქტორი

3. ინგა სამხარაძე

მეცნ. თანამშრომელი

4. ნანული ზოტიკიშვილი

ინჟინერი.

## რ ე ფ ე რ ა ტ ი

წარმოდგენილი სამეცნიერო ანგარიშში შესრულებული გამოკვლევები, რომლებიც გაგრძელებაა ამინდის პროგნოზირების, ბუნებრივი და ტექნოგენური კატასტროფების მოდელირების განყოფილებაში გასულ წლებში შესრულებული სამეცნიერო-კვლევითი სამუშაოებისა, შეეხება რეგიონალურ- ლოკალური ატმოსფერული პროცესების დინამიკას და მოდელურ გათვლებს საქართველოს ფიზიკურ-გეოგრაფიული პირობების გათვალისწინებით.

ატმოსფერული პროცესების ჩასახვის, განვითარების, ქრობის მექანიზმის შესწავლა იყო არის და იქნება მრავალი მეცნიერის კვლევის აქტუალური სფერო.

დღეისათვის განსაკუთრებულ ინტერესს იწვევს ლოკალური- რეგიონალური მოვლენების შესწავლა და ანალიზი. ამისათვის აუცილებელი ხდება მრავალი მეტეოროლოგიური, კლიმატოლოგიური პიგროლოგიური და გეოლოგიური მიკრო პროცესების გათვალისწინება. მიკრორეგიონალური პროცესები ყველგან თავისებურია ,განსაკუთრებით კი ისეთ როლი ფიზიკური რელიეფის მქონე ტერიტორიაზე, როგორისაა ამიერკავკასია და კერძოდ საქართველო.

საქართველოს მდებარეობა, მისი ფიზიკური და გეოგრაფიული პირობები იძლევა იმის ფართო საშუალებას, რომ ამ ტერიტორიაზე ჩაისახოს და განვითარება პოვოს თვისობრივად განსხვავებულმა მეტეოროლოგიურმა პროცესებმა შესაბამისი თერმიულ- ბარიული ველით. ამრიგად ყოველი ფიზიკურ- მათემატიკური მოდელი, რომელიც შეძლებს აღწეროს ცალკეულ რეგიონებში განვითარებული პროცესები არის მნიშვნელოვანი თეორიული და პრაქტიკული ღირებულობის. სამეცნიერო თემის მიზანია ატმოსფეროს მიწისპირა ფენაში მიმდინარე თერმო-დინამიკური მოვლენებისათვის შემუშავდეს მათემატიკური მოდელი ქარის ვალის რეჟიმის განსაზღვრისათვის საქართველოს ცალკეულ რეგიონებზე.

მთა-გორიან რეგიონებში ხშირად დაიკვირვება, არა პერიოდული, არა ორდინალური ატმოსფერული პროცესები. ამ პროცესებს თან სდევს მატერიალური ზარალი და ადამიანის მსხვერპლიც კი. აღნიშნულ მოვლენებს მიეკუთვნება: ქარბორბალა, მიკრორელიეფური აღგილობრი ქარები ე.წ. მთა-ხეობის ცირკულიაცია, ლოკალური პროცესების არამდგრადობის ენერგიის შეფასება, ცალკეულ რეგიონებზე ქარის რეჟიმის სტატისტიკური და მოდელური დახასიათება. ასეთი საკითხები იქნა განხილული საანგარიშო პერიოდში, ყველა მოვლენისათვის დადგენილია პრაქტიკული ღირებულობის შედეგები. მიღებულია რამოდენიმე ახალი ანალიზური დამოკიდებულება მეტეოროლოგიურ ელემენტების ცვალებადობაზე მთა-გორიან ტერიტორიისათვის. მოყვანილია რეკომედაციები მიღებული შედეგების ოპერატორულ საქმიანობაში დანერგვისათვის

ბუნების ერთერთი სტიქიური მოვლენაა ქარბორბალა, რომლის პროგნოზირება პრაქტიკულად თითქმის შეუძლებელია, არადა ბოლო წლებში იზრდება მისი სიხშირე საერთოდ და კერძოდ საქართველოში. წარმოდგენილ შრომაში მათემატიკურად მიღებულია სრულიად ახალი მათემატიკური დამოკიდებულება ქარის გრიგალურ ველში წნევასა და მანძილს შორის. დაშვებულია, რომ ქარბორბალა ვითარდება , მთა-გორიან ტერიტორიაზე , განსაზღვრული რადიუსის ცილინდრის შიგნით. ცილინდრის დერძი კი დახრილია რელიეფის გასწვრივ

გარკვეული კუთხით. დამტკიცებულია ,რომ ქარის გრიგალურ ველში წნევა იზრდება ბრუნვის ღერძიდან დაშორების მანძილის კვადრატის პროპორციულად. მაქსიმალურია პერიფერიაში და მინიმალური ბრუნვის დერმის გასწვრივ. ჰაერის ნაკადის მიმართულებით წინააღმდეგობის შეხვედრისას ადგილი აქვს ჩახვეულობების (გრიგალური) წარმოქმნას, ნაკადის შემობრუნებას და გარსდენის გაძლიერებას მეტეოროლოგიური სიტუაციის მიხედვით. ეს დასკვნები კარგად ასახავს ქარბორბალის მიერ გამოწვეულ კატასტროფიულ მოვლენებს.

ნაშრომში ქარის ვერტიკალური სიჩქარის განსაზღვრისათვის მიღებულია ფორმულა, რომელშიც ფიგურირებს ოროგრაფიის გავლენის ამსახველი დამატებითი ახალი წევრი, რითაც ფორმულა განსხვავდება ლიტერატურაში ცნობილი ანალოგიური დამოკიდებულებიდან. შემოთავაზებულია ვერტიკალური სიჩქარის განსაზღვრის მათემატიკული მოდელი ე.წ. „სამკუთხედური პოლიგონის“ მეთოდი. აღმოჩნდა, რომ უშუალოდ დედამიწის ზედაპირთან ნაკადის ვერტიკალური სიჩქარე მცირეა (სმ/წმ-რიგისა) და დინება ძირითადათ პორიზონტალურია. სიმაღლის ზრდასთან ერთად, ნაკადი რელიეფის გავლენით, იწყებს ზემოთ მოძრაობას და იძენს ვერტიკალურ სიჩქარეს, თითქმის ტოლს პორიზონტალურ მიმართულებით არსებული სიჩქარისა. (ზოგადათ დადგენილია, რომ მთა-გორიანი რელიეფი ქარის სიჩქარეს ზრდის იმ სიჩქარის თითქმის 45%-ით, რომელიც იმავე სიმაღლეზე ექნებოდა ნაკადს პორიზონტალურ სიბრტყეზე). გამოთვლილმა მონაცემებმა საქარა, საჩხერე, წიფის რეგიონზე ეს მოსაზრება დაადასტურა. ასეთი სახით განსაზღვრული ვერტიკალური სიჩქარით შეფასებული არამდგრადობის ენერგიის სიდიდე კარგად თანხმობაშია პრაქტიკაში დაკვირვებულ მნიშვნელობასთან. მეთოდი შეიძლება რეკომენდირებული იქნას სეტყვის ღრუბლებში კონვექციული ნაკადების შეფასებისათვის.

შესწავლილი იქნა ატმოსფეროს მიწისპირა ფენაში სხვადასხვა ბუნების აღმავალი დინებები და ლოკალურ რეგიონზე თითქმის მუდმივად არსებული გეოფიზიკური „ფენომენები“. საქართველოს ტერიტორიაზე ერთერთი ასეთი „ფენომენი“ დავით გარეჯის ტაფობზე დაიკვირვება. ანგარიში პიდროთეროდინამიკის კანონების საფუძველზე მოყვანილია აღნიშვნული მოვლენების ახსნა. დღემდე ასეთი მიღგომა და გაკეთებული დასკვნები ცნობილი არ არის. კერძოდ დამტკიცებული იქნა, რომ ქარის გრიგალურ ველში წნევა იზრდება რელიეფის სიმაღლის პროპორციულად და იმ კუთხის ზრდით, რომელსაც ნაკადის ბრუნვის ღერძი ადგენს ვერტიკალურ მიმართულებასთან. მიღებულია, რომ ქარის სიჩქარის გრიგალის ვერტიკალური მდგრენელი სიმაღლის მიხედვით იზრდება ექსპორტენციურად . ასეთი დამოკიდებულებებით ისსნება მითითებულ მოვლენების თავისებურებები. მიღებულ შედეგებს აქვთ როგორც თეორიული ასევე პრაქტიკული მნიშვნელობა.

ასევე პირველად იქნა გამოყენებული „ტეხილს“ მეთოდით ქარის სიჩქარე განსაზღვრისათვის იმერეთის რეგიონში, წყალტუმბო, ქუთაისი, ზესტაფონის მონაკვეთზე. მოდელური გათვლილი სიჩქარე (15-20)% -ის ფარგლებში დაემთხვა ოპერატიულ პრაქტიკაში დაკვირვებულ მნიშვნელობას, რაც ქარის ველისათვის აღიარებული დასაშვები შედეგია. მიღებული დასკვნები იძლევა საშუალებას მოყვანილი მოვლენები გამოყენებული იქნეს ქარის ველის შესასწავლად ნებისმიერ მთა-გორიან რეგიონზე.

კონკრეტულად ამ მიზნით შესწავლილი იქნა ქარის რეჟიმი, ბოლო სამოცი წლის დაკვირვებული მონაცემების საფუძველზე, ქუთაისის რეგიონზე და თბილისისათვის. შემოთავაზებული იქნა ცნობილი მდგრადობის პარამეტრების გამოყენება, ქარის სიდიდის ცვლილების მრავალიური ბუნების შესაფასებლად, რაც ერთგვარი სიახლეა. ქარის სიჩქარის სხვადასხვა გრადაციებისათვის გარკვეულ იქნა განმეორადობის სისშირე თვეების მიხედვით, დაზუსტდა რეგიონზე ქარის გაბატონებული მიმართულება. შედეგები მნიშვნელოვანია, სასურველ პუნქტში ქარის ენერგიის გამოყენების მიზნით და რეკომენდაციის მისაცემად ქარსაცავ ზონების ოპტიმალური მიმართულებით განაშენიანებისათვის.

ძირითადი შედეგები გამოქვეყნებულია ხუთ სამეცნიერო სტატიაში, მათ შორის სამი ინფაქტუაქტორიან უურნალებში და ორი საქართველოს ტექნიკური უნივერსიტეტის პიდრომეტეოროლოგიის ინსტიტუტის შრომათა კრებულებში. ძირითადი შედეგები მოხსენებულია საერთაშორისი კონფერენციაზე (თბილისში), პიდრომეტეოროლოგიის ინსტიტუტის ყოველწლიურ სესიებზე და საქალაქო სემინარზე „გეოფიზიკური და ეკოლოგიური პროცესების მათემატიკური მოდელირება“ (თსუ-ს გეოფიზიკის ინსტიტუტი). შესრულებული შრომის უმეტესი ნაწილი შესულია ინგა სამხარაძის სადისერტაციო ნაშრომში, რომლის თანახელმძღვანელია ზურაბ ხვედელიძე.

## შინაარსი

1. მძღავრი ცირკულაციური მოძრაობა (ქარბორბალა) მთა-გორიან ტერიტორიაზე	7
2. დაგით გარეჯის ტაფობის ფენომენი.	10
3. ქარის ვერტიკალური სიჩქარის განსაზღვრა ოროგრაფიის გათვალისწინებით	12
4. ჰაერის მასების დინამიკა მთა-ხეობებში	14
5. მიწისპირა ფენაში ოროგრაფიის გავლენა ქარის ველზე	21
6. დროის მცირე პერიოდში ატმოსფერული შეშფოთებების დინამიკა მთაგორიან ტერიტორიაზე (გათვალები და მისი შედეგები)	26
7. ქარის რეჟიმი საქართველოს ზოგიერთი რეგიონებისათვის ბოლო თრმოცდაათი წლის მანძილზე	37
დასკვნა	52

### ლიტერატურა

1. მძღავრი ცირკულაციური მოძრაობა (ქარბორბალა) მთა-გორიან ტერიტორიაზე

განვიხილოთ პაერის მასის დიდი სიჩქარით (20 მ/წმ და მეტი) დინება წრიული ცილინდრის ფორმის გარემოში, რომელიც ბრუნვის მუდმივი აუთენტური სიჩქარით. დავუშვათ, რომ ოროგრაფიული პირობებით ბრუნვის ღერძი კი არ არის ვერტიკალური, როგორც ეს საერთოდ არის მიღებული, არამედ პორიზონტისადმი  $\varphi$  კუთხით არის დახრილი (კუთხე აითვლება ღერძიდან პერიფერიისაკენ). რელიეფის გავლენის გათვალისწინება ხდება ვერტიკალური კოორდინატის გარდაქმნით. იმის გათვალისწინებით, რომ პროცესები სწრაფად ვითარდება – მოვლენები ითვლება სტაციონალურად. შესაბამისი განტოლებათა სისტემა შემდეგი სახით ჩაიწერება [1-8, 18-21].

$$u \frac{\partial u}{\partial x} + v \frac{\partial u}{\partial y} = - \frac{1}{\rho} \frac{\partial p}{\partial x}, \quad (1.1)$$

$$u \frac{\partial v}{\partial x} + v \frac{\partial v}{\partial y} = - \frac{1}{\rho} \frac{\partial p}{\partial y}, \quad (1.2)$$

$$0 = - \frac{1}{\rho} \frac{\partial p}{\partial z_1} - g, \quad (1.3)$$

სადაც  $g$  თავისუფალი გარდნის აჩქარებაა,  $oz_1$  ცილინდრის ბრუნვის ღერძია. მოვლენის მცირე დროში არსებობისას (რამოდენიმე ათეული წუთი) მასათა დეფორმაციას ადგილი არ აქვს და ხდება მხოლოდ ბრუნვა [3], მაშინ ვისარგებლოთ შემდეგი ცნობილი დამოკიდებულებით [3-6]:

$$u = -\omega \sin \varphi y, \quad v = \omega \sin \varphi x, \quad (1.4)$$

(1.4)-ის გათვალისწინებით (1.1)-(1.3) ასე გადაიწერება:

$$\omega^2 \sin^2 \varphi x = \frac{1}{\rho} \frac{\partial p}{\partial x}, \quad (1.5)$$

$$\omega^2 \sin^2 \varphi y = \frac{1}{\rho} \frac{\partial p}{\partial y}, \quad (1.6)$$

$$-\frac{1}{\rho} \frac{\partial p}{\partial z} = g, \quad (1.7)$$

გავამრავლოთ (1.1)-(1.3) განტოლებები შესაბამისად  $dx, dy, dz$ -ზე და შევკრიბოთ, გვექნება:

$$p + \gamma z_1 = \frac{\rho \omega^2}{2} r^2 \sin^2 \varphi + c, \quad (1.8)$$

სადაც  $r^2 = x^2 + y^2$ ,  $\gamma = g\rho$ ,  $c$  –მუდმივა ნაკადის გეომეტრიით განისაზღვრება . კერძოდ, მივიღოთ, რომ ნაკადის პერიფერიაში წნევა საზღვარზე შიგნიდან და გარედან ტოლია, მაშინ ეილერის განტოლების საფუძველზე ვწერთ [3, 18-21]:

$$c = p_\infty - \frac{\rho G^2}{8\pi^2 r_0^2} - \frac{\rho \omega^2}{2} r_0^2 \sin^2 \varphi \quad (1.9)$$

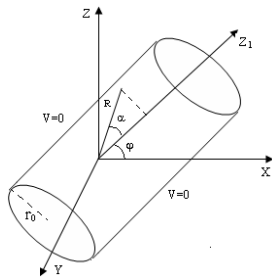
სადაც  $p_\infty$  წნევაა უსასრულობაში, პრაქტიკულად ცილინდრის საზღვარზე, სადაც სიჩქარე ნულია.  $G = 2\pi R\omega$  – სიჩქარის ცირკულაციაა. ამრიგად (1.8) და (1.9) გვაძლევს:

$$p + \gamma z_1 - p_\infty = \frac{\rho \omega^2}{2} \sin^2 \varphi (r^2 - r_0^2) - \frac{\rho \omega^2}{2} r_0^2, \quad (1.10)$$

აქედან კარგად ჩანს, რომ წნევა მცირდება ბრუნვის დერძისაკენ და მინიმალურია დერძის გასწვრივ. ამიტომ ხდება ქარბორბალაში გარედან წატაცება და შიგნით ბრუნვა დიდი სიჩქარით. ფიზიკური რელიეფის გათვალისწინებით გვაქვს:

$$p + \gamma dz_1^1 = \frac{\rho \omega^2}{2} r^2 \sin^2 \varphi + c \quad (1.11)$$

გამოდის, რომ რელიეფის გავლენით წნევა იზრდება რელიეფის ფარდობითი სიმაღლის  $d = \frac{H}{H - \xi(x,y)}$  პროპორციულად [1,18-21]. გამოვსახოთ  $r$  გრიგალის ჩასახვის წერტილიდან (სათავიდან) მოცემულ წერტილამდე  $R$  მანძილით(იხ. ნახ. 1.),  $r = R \sin \alpha$ , სადაც  $\alpha$  არის კუთხე გრიგალის ბრუნვის დერძსა და  $R$  მიმართულებას შორის. ეს კუთხე დამოკიდებულია რელიეფის პორიზონტისადმი დახრის სიდიდეზე.

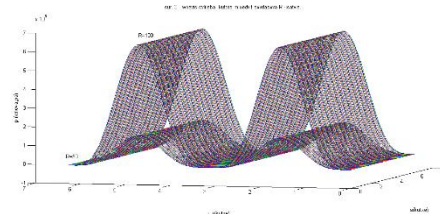


ნახ. 1.1

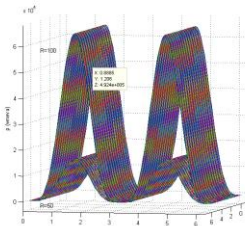
აღნიშნულის გათვალისწინებით (1.11) ასე გადაიწერება:

$$p + \gamma dz_1^1 = \frac{\rho \omega^2}{2} R^2 \sin^2 \alpha \sin^2 \varphi + c \quad (1.12)$$

აღმოჩნდა, რომ წნევა მინიმალურია გრიგალის ცენტრში, იზრდება მანძილის პროპორციულად და მოიცავს  $\pi R^2 \sin^2 \alpha$  ფართს. მიღებული შედეგები კარგად ხსნის დაკვირვებულ მოვლენებს და თეორიულად მიღებულია პირველად. მიღებული შედეგების საილუსტრაციოდ Matlab-ის პროგრამული სისტემის გამოყენებით (1.12) ფორმულაზე დაყრდნობით ავაგეთ ნახ. 1.2. და ნახ. 1.3. როგორც ამ ნახატებიდან ჩანს ქარის გრიგალურ ველში წნევა იზრდება ბრუნვის დერძიდან მანძილის პროპორციულად, მაქსიმალურია პერიფერიაში და მინიმალური ბრუნვის დერძის გასწვრივ;



ნახ. 1.2. წნევის მნიშვნელობის ცვლილება გრიგალის დახრის კუთხეზე ( $\varphi$ ) და ბრუნვის დერძსა და  $R$  მიმართულებას შორის კუთხეზე ( $\alpha$ ), მოცემულ წერტილამდე მანძილის ( $R$ ) ორი მნიშვნელობისათვის.



ნახ.1.3. წევის მნიშვნელობის ცვლილება გრიგალის დახრის კუთხეზე ( $\varphi$ ) და ბრუნვის დერძა და  $R$  მიმართულებას შორის კუთხეზე ( $\alpha$ ), მოცემულ წერტილამდე მანძილის ( $R$ ) ორი მნიშვნელობისათვის.



სურ. 1.1.



სურ. 1.2.

## 2. დავით გარეჯის ტაფობის ფენომენი.

დედამიწის ატმოსფეროში, მცირე ფართის ტერიტორიაზე, ხშირად მიმდინარეობს არაპერიოდული არაორდინალური პროცესები. ამ პროცესებს თან ახლავს არასასურველი მოვლენები ადამიანთა მსხვერპლით დამთავრებულიც კი. საქართველოს ტერიტორიაზე არსებობს, ლოკალური ადგილები სადაც მუდმივად

დაიკვირვება გ.წ. გეოფიზიკური „ფენომენური” მოვლენები (დავით გარეჯის ტაფობი, სურამის ზეგანი, ახალციხის ქვაბური. სვანეთში- მესტიის დაბლობი, საჩხერე, შირაქი, არაგვის და თერგის ხეობები). ეს მოვლენები დიდ გავლენას ახდენს ამინდზე და კლიმატზე, ამიტომ მათ შესწავლას უდიდესი თეორიული და პრაქტიკული მნიშვნელობა აქვს.

დავით გარეჯის მიდამოში შეიმჩნევა განსაკუთრებული პროცესები: კერძოდ, ტაფობში მთელი წლის განმავლობაში დაიკვირვება უნალექობა, მიუხედავად იმისა, რომ ტაფობის გარშემო ამაღლებულ შემოგარენზე შეიძლება თავსხმა წვიმა იყოს, ჰაერის მაღალი ტემპერატურა, ქარის მუდმივი ქროლვა ტაფობიდან გარეუბნისაკენ, მთებზე ტაფობის გარშემო თბილი და გრილი მასების შემოდინება და ხშირად გროვა-საწვიმარი ღრუბლების წარმოშობა .ტაფობის გეოლოგიური სტრუქტურიდან გამომდინარე ჰაერის ქვედა ფენებში მაღალია ტემპერატურა, რაც განაპირობებს აღმავალი დინების გაძლიერებას, ეს დინება სიმაღლის მიხედვით წარიტაცება შედარებით დაბალი ტემპერატურის მქონე პერიფერიისაკენ. ამ მოვლენების თეორიული ახსნისათვის ვისარგებლოთ ატმოსფეროს სასაზღვრო ფენაში მოქმედი განტოლებათა სისტემით, სადაც ზემოთ აღნიშნული მიზეზის გამო გადამწყვეტია ქარის სიჩქარის ვერტიკალური მდგენელი [7-14,[19-21]:

$$\frac{\partial u}{\partial t} + w \frac{\partial u}{\partial z} = - \frac{1}{\rho} \frac{\partial p}{\partial x} + k \frac{\partial^2 u}{\partial z^2}, \quad (2.1)$$

$$\frac{\partial v}{\partial t} + w \frac{\partial v}{\partial z} = - \frac{1}{\rho} \frac{\partial p}{\partial y} + k \frac{\partial^2 v}{\partial z^2}, \quad (2.2)$$

სადაც  $t$  არის დრო;  $ox$  და  $oz$  ჰორიზონტალური და ვერტიკალური ღერძებია,  $u$ ,  $v$  და  $w$  სიჩქარის მდგენელებია შესაბამის ღერძებზე,  $\rho$  – სიმკვრივეა,  $p$ -წნევა,  $k$  – ტურბულენტობის კოეფიციენტია. ვინაიდან პროცესის ხანგრძლივობა მცირეა, ამიტომ შეიძლება მივიჩნიოთ იგი სტაციონალურად. თუ (2.1) განტოლებას გავაწარმოებთ  $z$ -ით, (2.2)-ს კი  $x$ -ით და გამოვაკლებთ, სიჩქარის გრიგალის  $x$  მდგენელისათვის მივიღებთ შემდეგ განტოლებას:

$$k \frac{\partial^2 \Omega}{\partial z^2} - w \frac{\partial \Omega}{\partial z} = 0, \quad (2.3)$$

სადაც  $\Omega$ -სიჩქარის გრიგალია.

(2.1),(2.2)-ის ამოხსნისათვის  $z$ -ის მიმართ უნდა შესრულდეს შემდეგი სასაზღვრო პირობები: როცა  $z=h$  (მიწისპირა ფენის სიმაღლე), ქარის სიჩქარის გრიგალის  $\Omega$  მნიშვნელობა უტოლდება დინამიკური სიჩქარის ვერტიკალურ გრადიენტს  $\Omega = \text{grad } V^*$ , სადაც  $V^*$  არის დინამიკური სიჩქარე და ასეთი მიღება შესრულებულია პირველად.

როცა  $z \rightarrow \infty$ ,  $\Omega$ -შემოსაზღვრულია. ამ პირობებით (2.1)-(2.2)-ის ამონახსნს აქვს შემდეგი სახე:

$$\Omega_x = \text{grad } V^* e^{\frac{w}{k} z}, \quad (2.4)$$

ამრიგად მივიღეთ, რომ  $\Omega_x$  სიმაღლის მიხედვით ექსპონენციალურად იზრდება. მიუხედავად იმისა, რომ  $\frac{w}{k}$  -მცირეა ( $10^{-5}$  რიგისაა),  $\Omega_x$  მაინც მკვეთრად იზრდება და მისი ბუნებიდან გამომდინარე იწვევს ნაკადის შიგნიდან (ტაფობიდან) ზემოთ და გარეთ გამოდინებას. ეს ფაქტი კი ამართლებს მითითებულ თავისებურებებს. ის

გარემოება, რომ გრიგალი პროპორციულადაა დამოკიდებული დინამიკურ სიჩქარეზე განაპირობებს ოროგრაფიული და სითბური ფაქტორების გავლენას . ჩ- სიმაღლის ზემოთ ქარი ხდება გეოსტროფიული, ე.ო.  $\Omega_x = \alpha \Delta p$  ( $\Delta$ -ბრტყელი ლაპლასიანი, გამოდის, რომ ქარის სიჩქარის იზრდება

$\Omega_x > 0$  იწვევს წნევის გრადიენტის  $\Delta p > 0$  მატებას ისე, რომ მაქსიმალური მნიშვნელობა ტაფობის შიგნითაა. ასეთი სიტუაცია ხელს უშლის დრუბლების წარმოშობას ტაფობში და ხელსაყრელ პირობებს ქმნის დრუბლებისათვის გარეუბნებზე. ბუნებრივია, ნალექების განაწილებაც შესაბამისად განხორციელდება. ამრიგად, მითითებული თავისებურებანი თეორიულად დასაბუთებულია.

### 3. ქარის ვერტიკალური სიჩქარის განსაზღვრა ოროგრაფიის გათვალისწინებით.

დინამიკურ მეტეოროლოგიიდან ცნობილია, რომ ქარს აქვს ვერტიკალური მდგენელიც, რომელიც პორიზონტალურ მოძრაობასთან შედარებით მცირეა და მხოლოდ ინტენსიური კონვექციური მოძრაობისას შეიძლება იყოს (10-20) სმ/წმ-მი და მეტიც. ასეთი კონვექციური მოძრაობები კი ხშირად შეიმჩნევა უსწორმასწორო, მთა- გორიან ტერიტორიაზე. აქედან გამომდინარე მიწისპირა ფენაში მთაგორიან მიღამოში არ არის მისაღები ქარის დივერგენციის ნულთან ტოლობა, როგორც ეს დაშვებულია სწორი ზედაპირისათვის და ამიტომ გასათვალისწინებელია. ქარის ვერტიკალური სიჩქარის ექსპერიმეტრული გაზომვა პრინციპულ სირთულეებთან არის დაკავშირებული და ამიტომ აუცილებელი ხდება მისი შეფასება თეორიული მეთოდების გამოყენებით.

მივიღოთ, რომ მიწისპირა ფენაში  $w$ -ს წარმოქმნას განაპირობებს, მხოლოდ ზედაპირის ხახუნი და რელიეფი, კერძოდ  $w$  განისაზღვრება უწყვეტობის განტოლების ინტეგრირებით [8-10] 0-დან ფენის  $H$  სიმაღლემდე, ე.ო.

$$W = - \int_0^H \left( \frac{\partial u}{\partial x} + \frac{\partial v}{\partial y} \right) dz \quad (3.1)$$

ჰიდროდინამიკის განტოლებათა სისტემიდან ქარუს  $u$  და  $v$  პორიზონტალური მდგენელებისათვის ქვექნება:

$$\frac{\partial u}{\partial x} = \frac{1}{l} \frac{\partial}{\partial x} \left( \frac{\partial}{\partial z} k \frac{\partial v}{\partial z} \right) + \frac{\partial u_g}{\partial x}; \frac{\partial v}{\partial y} = - \frac{1}{l} \frac{\partial}{\partial y} \left( \frac{\partial}{\partial z} k \frac{\partial u}{\partial z} \right) + \frac{\partial v_g}{\partial y} \quad (3.2)$$

სადაც  $u_g$  და  $v_g$  არის რელიეფის გავლენით წარმოშობილი აგეოსტროფიული ქარის მდგენელები, რომლებიც მოცემულია შემდეგი დამოკიდებულებით [1,-10]:

$$u_g = - \frac{1}{l \rho \eta} \frac{\partial p}{\partial y}; v_g = \frac{1}{l \rho \eta} \frac{\partial p}{\partial x} \quad (3.3)$$

აქ  $\eta = \frac{p_z}{p_0}$  არის რელიეფის პარამეტრი,  $p_z$  - წნევის სიდიდეა მთის ზედაპირზე,  $p_0$  წნევის სტანდარტული მნიშვნელობა. შევიტანო რა (3.2) და (3.3)-ს (3.1)-ში და

მოვახდენთ ინტეგრირებას, მაშინ იმის გათვალისწინებით, რომ ხახუნის დაძაბულობა ფენის ზედა საზღვარზე ნულია, მივიღებთ:

$$W = \frac{1}{l} \frac{\partial}{\partial x} \left( k \frac{\partial v}{\partial z} \right)_{z \rightarrow 0} - \frac{1}{l} \frac{\partial}{\partial y} \left( k \frac{\partial u}{\partial z} \right)_{z \rightarrow 0} - \left( \frac{\partial u_g}{\partial x} + \frac{\partial v_g}{\partial y} \right) H \quad (3.4)$$

საველე სამუშაოების მასალის ანალიზით დადგენილი იქნა, რომ დინამიკური სიჩქარის შეფარდება  $u_g$ -თან დამოკიდებულია იზობარიდან ნაკადის გადახრის დაუთხეზე [7-8,10-12], ამიტომ გვექნება:

$$\left( k \frac{\partial u}{\partial z} \right)_{z \rightarrow 0} = v_*^2 \cos \delta; \left( k \frac{\partial v}{\partial z} \right)_{z \rightarrow 0} = v_*^2 \sin \delta \quad (3.5)$$

რელიეფის გავლენით სიჩქარის ბრტყელი დივერგენცია არ არის ნული, არამედ წარმოდგება  $\eta$ -სა და  $p$ -ს იაკობიანით, იმის გათვალისწინებით, რომ ქარის აგეოსტროფიულობა წარმოქმნილია სწორედ მიწისპირა ფენიდან, ამრიგად:

$$\frac{\partial u_g}{\partial x} + \frac{\partial v_g}{\partial y} = \frac{1}{l \rho \eta^2} (\eta, p) \quad (3.6)$$

ვერტიკალური სიჩქარე გამოისახება ხახუნის დაძაბულობის ბრუნვითი ვექტორის ვერტიკალური მდგენელითა და იაკობიანით:

$$W = \frac{1}{l} \left[ \frac{\partial}{\partial x} (v_*^2 \sin \delta) - \frac{\partial}{\partial y} (v_*^2 \cos \delta) \right] - \frac{1}{l \rho \eta^2} (\eta, p) H = \frac{1}{l \rho} [rot_z \tau + \frac{1}{\eta} (p, \ln \eta) H] \quad (3.7)$$

მიღებული (3.7) ფორმულა არის ახალი და განსხვავდება ყველა ცნობილი დამოკიდებულებიდან მარჯვენა მხარეში იაკობიანის დამატებით, რომელიც ოროგრაფიული ფაქტორის გავლენას გამოხატავს. მოვახდინოთ ამ წევრის შეფასება კონკრეტული ოროგრაფიული ტერიტორიისათვის. სანიმუშოდ შევარჩიოთ საჩხერის რაიონი - ჯვრის უღელტეხილის მიდამო.  $ox$  დერძი იყოს მიმართული პარალელის გასწვრივ დასავლეთიდან აღმოსავლეთისკენ;  $oy$  დერძი მერიდიანის მიმართულებით სამხრეთიდან ჩრდილოეთით.  $\Delta x = 4 \cdot 10^4$  მ,  $\Delta y = 3 \cdot 10^4$  მ. სიმაღლე პარალელის გასწვრივ იცვლებოდეს 600 მეტრიდან 200 მეტრამდე, ხოლო მერიდიანის გასწვრივ 10005 მეტრიდან 990 მეტრამდე (უღელტეხილის სიმაღლე); შესაბამისად  $p_{z1x} = 940 \text{ მბ}$ ;  $p_{z2x} = 980 \text{ მბ}$ ;  $p_{z1y} = 999,5 \text{ მბ}$ ;  $p_{z2y} = 990 \text{ მბ}$ . ამასთანავე  $l = 1,4 \cdot 10^{-4} \text{ 1/წ}$ ;

$\rho = 1,3 \text{ კგ/მ}^3$ ;  $H = 10^3 \text{ მ}$ . ამ მონაცემებით გამოვთვალოთ ოროგრაფიული ავაქტის სიდიდე:

$$\frac{1}{l \rho \eta} (P, \ln \eta) = \frac{1}{l \rho \eta} \left( \frac{\partial p}{\partial x} \frac{\partial \ln \eta}{\partial y} - \frac{\partial p}{\partial y} \frac{\partial \ln \eta}{\partial x} \right),$$

ცხადია:

$$\frac{\partial \ln \eta}{\partial x} = \frac{\ln p_{z2x} - \ln p_{z1x}}{\Delta x} = \frac{6,88 - 6,87}{4 \cdot 10^4} = 1,10^{-6} \text{ გბ/გ}$$

$$\frac{\partial \ln \eta}{\partial y} = \frac{\ln p_{z2y} - \ln p_{z1y}}{\Delta y} = \frac{6,90 - 6,91}{3 \cdot 10^4} = -0,3 \cdot 10^{-6} \text{ გბ/გ}$$

$$\frac{\partial \ln \eta}{\partial y} = \frac{\ln p_{z2y} - \ln p_{z1y}}{\Delta y} = \frac{6,90 - 6,91}{3 \cdot 10^4} = -0,3 \cdot 10^{-6} \text{ გბ/გ};$$

$$\frac{\partial p}{\partial y} = \frac{10,5}{3 \cdot 10^4} = 0,35 \cdot 10^{-3} \text{ გბ/გ.}$$

ამრიგად ოროგრაფიული ეფექტი იქნება:

$$\frac{1}{l\rho\eta}(P, \ln \eta) = \frac{10^4}{1,4 \cdot 1,3 \cdot 0,7} (10^{-3} \cdot 10^{-6} + 0,35 \cdot 10^{-3} \cdot 0,3 \cdot 10^{-6}) \cdot 10^3 = 8,7 \text{ სმ/წმ.}$$

მივიღეთ **w**-ს ის მნიშვნელობა, რომელიც უზოლდება მიწისპირა ფენაში მნიშვნელობას, რაც მიუთითებს, რომ ოროგრაფიული ეფექტი მნიშვნელოვანია და აუცილებლად გასათვალისწინებელია

ვერტიკალური სიჩქრე შეიძლება განისაზღვროს ეგ.წ. სამკუთხედის მეთოდითაც, რომელიც შემოთავაზებული იყო მთავარი გეიფიზიკური ობსერვატორიის მეცნიერთა კაუფის მიერ. ამ თეორიის გამოყენებისათვის შერჩეული უნდა იყოს საქართველოს ტერიტორიის ნებისმიერი მიკრო პოლიგონი რადიუსით 20-დან 100 კმ-მდე. ამ პოლიგონზე აიღება ნებისმიერად განლაგებული სამი მეტეოროლოგიური სადგური, რომლებზედაც არის მინიმუმ 10 წლიანი სტარდარტული დაკვირვებები. მაგალითად საჩხერე, წიფა, გორი შექმნის ერთ სამკუთხედის შიგა სივრცეში გამოითვლება მეტეოროლოგიური სიდიდეების გრადიენტული მნიშვნელობები შემდეგი ფორმულით:

$$\frac{\partial f}{\partial n} = \sqrt{\frac{(f_c - f_A)^2}{(CA)^2} + \frac{(f_B - f_A)^2}{(AB)^2} + \frac{(f_c - f_A)(f_B - f_A)\cos\delta}{CA \cdot AB}} \quad \text{---(3.8)}$$

სადაც,  $f$ -ის ქვეშ იგულისხმევა ნებისმიერი მეტეოროლოგიური ელემენტი.

მეთოდის პროცედურა შემდეგია. პროცედურა ასე მიმდინარეობს:

1) შეირჩეს სამი სადგური, სადაც დაკვირვების პერიოდი მინიმუმ 10 წელია;

2) ამ პუნქტებში გამოითვალის წევის გრადიენტები;

3) წევის გრადიენტით განისაზღვრება გეოსტროფიული ქარის სიდიდე;

4) დედამიწის მოსილობის  $z_0$  სიმაღლით (აიღება სპეციალური ცხრილებიდან) და ქარის გეოსტროფიული მნიშვნელობით განისაზღვრება როსბის პარამეტრი ფორმულით;

$$R_0 = \frac{G_g}{lz_0}$$

5)კვლავ ცხრილიდან შეირჩევა ხახუნის გეოსტროფიული კოეფიციენტი  $\chi$  და მისი დახმარებით დონამიკური სიჩქარე გამოითვლება ფორმულით[4-6]:

$$v^* = \chi \gamma G, \quad \dots \quad (3.9)$$

სადაც  $\gamma = 1.4$  მუდმვი სიდიდეა.

6)ხახუნის დაძაბულობის მდგენელები  $OX$  და  $OY$  ღერძების მიმართ განისაზღვრება დამოკიდებულობით:

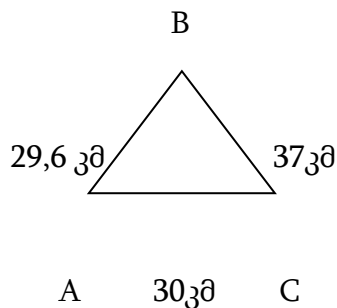
$$\tau_{0x} = \tau_0 \cos \delta; \tau_{0y} = \tau_0 \sin \delta \quad \dots \quad (3.10)$$

სადაც  $\delta$  -არის კუთხე  $\tau$  -სა და  $ox$  ღერძს შორის.

7)A,B,C პუნქტებში აიგება ქარის „ვარდი“ და განისაზღვრება ნაკადის გაბატონებული მიმართულება

8) საძიებელი  $W_h$  განისაზღვრება ფორმულით[16].

მაგალითვისთვის ავიღოთ სამკუთხედი საქარა A, საჩხერე B, წიფა C



ამ მიკრორეგიონისსათვის გამოთვლილი პარამეტრები მოყვანილია ცხრილში.

თვეები	$\frac{\partial p}{\partial n} \cdot 10^{-3}$	$\chi (Z=1\theta)$	$R_0$	$V^* (\partial/\partial \theta)$			$W(\partial/\partial \theta)$	შენიშვნა
				A	B	C		
იანვარი	14,3	0,122	$10 \cdot 10^4$	0,66	0,53	0,45	0,43	
მაისი	13,7	0,153	$9,8 \cdot 10^4$	0,78	0,64	0,51	0,54	

აგვისტო	13,4	0,153	$9,6 \cdot 10^4$	0,78	0,62	0,50	0,56	
ნოემბერი	13,7	0,153	$9,8 \cdot 10^4$	0,79	0,64	0,51	0,54	

საინტერესოა, რომ განხილულ რეგიონზე ვერტიკალური სიჩქარის მნიშვნელობა ახლოს არის თავის დროზე ბირთ-პილოტური მეთოდით მიღებულ სიდიდესთამ.

#### 4. ჰაერის მასების დინამიკა მთა-ხეობებში.

აეროპიდროდინამიკის ერთ-ერთ აქტუალურ საკითხს წარმოადგენს ჰაერის ნაკადის დინების შესწავლა მცირე სიგანის არხში-ხეობაში. ეს საკითხი უფრო საინტერესო ხდება იმ შემთხვევაში, როცა ხეობის ფსკერი წარმოდგენილია მთა-ბურცობული რელიეფის სახით. ასეთი პირობები რეალურად არსებობს არა მარტო მთა-ხეობებში, არამედ მდინარეთა კალაპოტებშიც.. საქართველოს ტერიტორიაზე მრავალ ადგილას არსებობს მსგავსი სიტუაციები, მათ შორის ბაქო-თბილის-ჯეიპანის ნავთობ-მაგისტრალის გასწვრივ. აქედან გამომდინარე ადნიშნულ პრობლემას აქვს როგორც თეორიული, ასევე პრაქტიკული დირებულება.

ამოცანა ისმის ასე: შესწავლილი იქნას აერო-პიდრო ნაკადების დინება ჰორიზონტისადმი მცირე  $\alpha$  კუთხით დახრილ, მცირე  $b$  სიგანის არხში, სუსტი ( $V < 10\text{m/s}$ ) ქარის დროს. განიხილება სტაციონალური დინება  $xoz$  სიბრტყეში სიმძიმის ძალის და ფსკერის რელიეფის გავლენის გათვალსიწინებით. კოორდინატთა სათავე მოთავსებულია მდინარის ან ხეობის ძირში,  $ox$  დერძი მიმართულია ნაკადის გასწვრივ,  $b$ -ლო  $oz$  – ვერტიკალურად ზევით. იგულისხმება რომ ნაკადის ინტენსივობა მცირე  $\Delta t$  დროში უცვლელია და ატმოსფერული წნევის მოქმედება მუდმივია. ამრიგად გვაქვს [1,2]:

$$\frac{\partial p}{\partial x} = 0; \quad (4.1)$$

$$b\omega \cos \alpha P_x = g \sin \alpha; \quad p_z = g \cos \alpha, \quad (4.2)$$

სადაც  $p$  წნევაა,  $g$  – სიმძიმის ძალის აჩქარებაა.

მითითებულ პირობებში პიდროდინამიკის განტოლებათა სისტემა ჩაიწერება შემდეგი სახით [1-3].

$$g\rho \sin \alpha + \mu \left( \frac{\partial^2 V}{\partial y^2} + \frac{\partial^2 V}{\partial z^2} \right) = 0 \quad (4.3)$$

$$\frac{\partial p}{\partial y} = 0; \quad (4.4)$$

$$\frac{\partial p}{\partial z} + g\rho \cos \alpha = 0 \quad (4.5)$$

(4.3)-(4.5) ინტეგრირდება შემდეგი სასაზღვრო პირობებით:

$$\text{როცა } z=0, \quad V=0 \quad (4.6)$$

$$z=h, \quad \frac{\partial V}{\partial z} = 0; \quad (4.7) \quad p=p_0 \quad (4.8)$$

სადაც  $\rho$  პაერის (სითხის) სიმკვრივეა,  $h$  – თავისუფალი ზედაპირის სიმაღლე,  $\mu$  – სიბლანტის კინემატიკური კოეფიციენტი. ასეთი სახით დასმული ამოცანა ამოხსნილია [1, 2] და შესაბამისი მახასიათებელი სიდიდეები სიჩქარე, წნევა და გამავალი ნაკადის რაოდენობა  $Q$  განსაზღვრულია შემდეგი დამოკიდებულებით:

$$p = p_0 + g\rho(h - z)\cos\alpha \quad (4.9)$$

$$V = \frac{g\rho z(2h - z)}{2\mu} \sin\alpha \quad (4.10)$$

$$Q = \frac{g\rho b h^3 \sin\alpha}{3\mu} \quad (4.11)$$

სადაც  $Q$  არის ნაკადის სიმძლავრე იმ შემთხვევაში, როცა არხის ქვედა ზედაპირი არის მცირე სიმაღლის (რამოდენიმე მეტრის რიგის) ბურცობული დრმულებით დაფარული, მოძრაობს სტრუქტურის გამოსაკვლევად  $z$  კოორდინატი ნაცვლად შემოვიტანოთ ახალი კოორდინატი  $z'$  შემდეგი დამოკიდებულებით [3, 4, 11]:

$$z_1 = \frac{z - (\xi x, y)}{H - \xi(x, y)} H \quad (4.12)$$

სადაც  $\xi(x, y)$  არის არხის ფსკერის რელიეფის ფორმა. კოორდინატთა ახალ სისტემაში (3)-(5) განტოლებათა სისტემა (6)-(8) სასაზღვრო პირობებით მიიღებენ შემდეგ სახეს:

$$g\rho \sin\alpha + \mu \left( \frac{\partial^2 V}{\partial y^2} + a^2 \frac{\partial^2 V}{\partial z_1^2} \right) = 0 \quad (4.13)$$

$$\frac{\partial p}{\partial y} = 0; \quad (4.14)$$

$$a \frac{\partial p}{\partial z_1} + g \cos \alpha = 0 \quad (4.15)$$

$$\text{როცა } z_1 = \xi(x, y), \quad \text{მაშინ } V=0 \quad (4.16)$$

$$\text{როცა } z_1 = h, \quad \text{მაშინ } \frac{\partial V}{\partial z_1} = 0; \quad (4.17)$$

$$p=p_0$$

$$\text{ამ } a = \frac{H}{H - \xi(x, y)} \quad \text{და} \quad \text{ითვლება} \quad \text{მუდმივად.} \quad \text{რაც} \quad \text{შეეხება} \quad (4.9) \quad - \quad (4.11)$$

ფორმულებს, ისინი ა-ს გათვალისწინებით ასე გადაიწერებიან:

$$p = p_0 + \frac{g\rho}{a} (h - z_1) \cos \alpha \quad (4.18)$$

$$V = \frac{\partial \rho z_1 (2h - z_1)}{2a^2 \mu} \sin \alpha \quad (4.19)$$

$$Q = \frac{\partial \rho b h^3}{3a^2 \mu} \sin \alpha \quad (4.20)$$

(4.18) – (4.20)-დან ჩანს, რომ პაერის ნაკადის სიჩქარე და სიმძლავრე ფსკერის რელიეფის მახასიათებელ სიდიდეზე დამოკიდებულია მისი კვადრატის უკუპროპორციულად. ამრიგად, არხში ფსკერის რელიეფის გავლენის გათვალისწინებამ შეამცირა როგორც ნაკადის სიჩქარე, ასევე ინტენსიონის რაოდენობა. აქედან გამომდინარე პაერის (სითხის) ნაკადში ადგილობრივი დაჭუჭყიანების წყარო (სხვადასხვა მინარევის ლაქა) ნელა გადაადგილდება და თვითგაწმენდის პერიოდი გაიზრდება.

ასელა განვიხილოთ ისეთი პაერ-ჰიდრო ნაკადი, რომელიც შეიცავს დაჭუჭყიანების წერტილოვან ან წრფივ წყაროებს და დინებისას ჰორიზონტალურ სიბრტყეში წარმოქმნის ინტენსიონის გრიგალებს – ცირკულაციურ დინებებს. ვისარგებლოთ ჰიდროდინამიკის განტოლებათა სისტემით ლამბა – გრომოკის ფორმით, რომელიც უშვებს სიჩქარისა და ძალის ველის პოტენციურობას ე.ო. [3-5]:

$$U = \frac{\partial \Phi}{\partial x}; \quad V = \frac{\partial \Phi}{\partial y}; \quad W = \frac{\partial \Phi}{\partial z} \quad (4.21)$$

ამიტომ განტოლებათა სისტემა ასე ჩაიწერება:

$$qgrad(\varphi + \Pi + E) = qgrad\left(\frac{\partial \Phi}{\partial t}\right) \quad (4.22)$$

სადაც  $\varphi$  – მასიური ძალების პოტენციალია,  $\Phi$  – სიჩქარეთა კელის პოტენციალი,  $E$  – კინეტიკური ენერგია,  $\Pi = \frac{P}{\rho}$  უკუმშვადი გარემოსათვის, ხოლო  $\Pi = \frac{\chi - 1}{\chi} \frac{P}{\rho}$  კუმშვად-ადიაბატური პირობებისათვის,  $\chi = \frac{C_p}{C_v}$  – კუთრისითბობრიგითობა მუდმივი მოცულობისას. (4.22)-დან მიიღება ლაგრანჯის ინტეგრალი [1, 3]:

$$-(\varphi + \Pi + E) = \frac{\partial \Phi}{\partial t} + c(t) \quad (4.23)$$

სადაც  $c(t)$  – მუდმივია და როცა იგი უდრის 0-ს (4.23) გადადის ეილერის ფორმულაში, რომელსაც ბაროტროპული გარემოსათვის აქვს სახე:

$$\rho\varphi + P + \frac{\rho V^2}{2} + \rho \frac{\partial \Phi}{\partial t} = 0 \quad , \quad (4.24)$$

იმის დაშვებით, რომ დინება სტაციონალური ( $\Phi = const$ ) მცირე დროით ინტერვალზე ox დერძის მიმართულება ემთხვევა „გრიგალს“ დერძს ( $\varphi = 0$ ) მაშინ (4.24) ასე გადაიწერება:

$$P - P_\infty = -\frac{\rho V^2}{2} \quad , \quad (4.25)$$

სადაც  $P_\infty$  შეესაბამება წნევის მნიშვნელობას წყაროდან შორ მანძილზე, სადაც  $V=0$ . როგორც თეორიიდან ცნობილია [1, 4] დინების სიჩქარეები კლებულობენ წყაროდან დაშორების r სიდიდის უკუპროპორციულად. ე.ი.

$$V = \frac{G}{2\pi r} \quad , \quad (4.26)$$

(4.26)-ის გათვალისწინებით (4.25) ასე გადაიწერება:

$$P - P_\infty = -\frac{\rho G^2}{8\pi^2 r^2}, \quad (4.27)$$

ე.ი. გრიგალური დინებისას წნევა კლებულობს ცენტრისკენ მანძილის კვადრატის უკუპროპორციულად. ამასთანავე რადგან  $p < p_\infty$  ხდება ჰაერის (წყლის) ნაკადის შეწოვა ცენტრისკენ. ეს ფაქტიც აგრეთვე ხელს უწყობს დინების ნაკადში არსებულ დამჭუქებულების მინარევების გადატანა-გაფანტვის შესუსტებას.

როცა პროცესები ადიაბატურია და გარემო კუმშვადია, მაშინ მსგავსად (4.27)-სა ტემპერატურისათვის გვექნება

$$T - T_\infty = -\frac{\chi - 1}{\chi} \frac{1}{R} \frac{G^2}{8\pi^2 r^2} \quad , \quad (4.28)$$

სადაც  $R$  – გაზის უნივერსალური მუდმივაა. (4.28)-დან კარგად ჩანს, რომ გრიგალურ ნაკადებში ტემპერატურა ცენტრისკენ მცირდება, ეს უზრუნველყოფს იმას, რომ დინების გასწვრივ დაფიქსირდება იქნას „ციფი“ და „ცხელი“ უბნები. ასეთ უბნები მართლაც დაიკვირვება დიდი (ატომური ვულკანური) აფეთქებებისას და მოსალოდნელია შეიქმნას ნავთობ-გაზ სადენების გასწვრივ კატასტროფული სიტუაციების შემთხვევაშიც.

ვისარგებლოთ (4.9) და (4.10), (4.19) და (4.20) ფორმულებით და გავთვალოთ ნაკადის სიჩქარე (სიმძლავრე) არხის რელიეფის პორიზონტისადმი დახრის კუთხეზე დამოკიდებულებით, ხეობის მახასიათებელი პარამეტრები მოცემულია ცხრილ 4.1-ში.

ცხრ. №4.1

პარამ. გარემო	$\rho \left( \frac{\partial \delta}{\partial^3} \right)$	$h(\delta)$	$z_1(\delta)$	$\mu \left( \frac{\partial \delta}{\partial \nabla \delta} \right)$	a	b	შენიშვნა
აერი	1,3	$5 \cdot 10^2$	10 – 500	$1,7 \cdot 10^5$ $2 \cdot 10^4$	1.0-10.10	10 – 50	
ჭყალი	$10^3$	0 – 5	0 – 2	$1,1 \cdot 10^6$ $1,2 \cdot 10^5$	10-3.0	10 – 50	

ხოლო სიჩქარის მნიშვნელობები ხეობის რელიეფის გაუთვალისწინებლად V და გათვალისწინებით V(a)  $\alpha$ -კუთხის თოხი სიღრღვისათვის,  $\mu$  ორი სიღრღვისათვის მოყვანილია ცხრ. №4.2-ში.

ცხრ. №4.2 – მონაცემებიდან მკაფიოდ ჩანს სიჩქარის პროპორციული ზრდა პორიზონტალური დახრის კუთხის მატების მიხედვით. ქარის სიჩქარის გამოთვლილი მნიშვნელობები რეალურთან უფრო ახლოს არის თუ გავითვალისწინებოთ ფსკერის რელიეფის გავლენას და ტურბულენტობის კინემატიკურ კოეფიციენტს. ავიდებოთ თითქმის ერთნაირს წყლის ზედა ფენასა და მის მიმდებარე ჰაერის ფენაში.

მოყვანილი მათემატიკური თეორია გამოიყენება სხვადასხვა მდინარეთა ხეობებში ან მთათა შორის დაბლობში ჰაერის (წყლის) ნაკადის სიჩქარის განსაზღვრისათვის და შესაბამისად დაბინძურების გავრცელების შესასწავლად, დაბინძურების გამო წარმოქმნილი ჭარბი წნევისა და ტემპერატურის შეფასება შესაძლებელია (4.27) – (4.28) ფორმულების საფუძველზე. Q – სიღრღვე იზრდება  $\alpha$  კუთხის მიხედვით. მაგრამ არა პროპორციულად, მაგალითად:  $\rho h^3 = 8 \cdot 10^3$  კმ,  $\alpha = 150$ ,  $b = 20$  მ,  $Q = 2,08 \cdot 10^4$  კგ და  $Q(a) = 1,4 \cdot 10^4$  კგ, ხოლო  $\alpha = 60^\circ$  კუთხის შემთხვევაში შესაბამისად  $Q = 6,4 \cdot 10^4$  კგ და  $Q(a) = 1,4 \cdot 10^4$

მიღებული შედეგები შედარებული იქნა მიღებული გათვლებთან, რომლებიც ეყრდნობა მინარევის კონცენტრაციის განსაზღვრას ტურბულენტურ გარემოში. დიფუზიის კლასიკურ განტოლების ამოხსნას რეალურ სასაზღვრო და საწყის პირობებში [2].

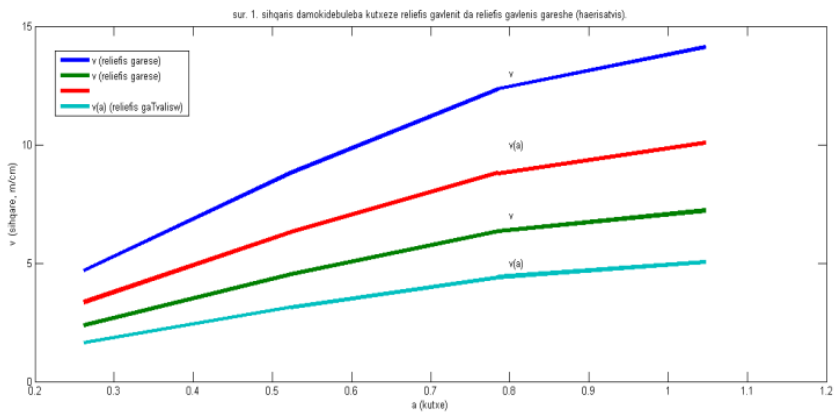
ცხრ. №4.2

ჰაერისათვის					წყლისათვის			
V	V ( $\partial/\nabla\theta$ )		V(a) ( $\partial/\nabla\theta$ )		V ( $\partial/\nabla\theta$ )		V(a) ( $\partial/\nabla\theta$ )	
$\alpha^0$								
15 <sup>0</sup>	4,69	2,35	3,35	1,64	$2 \cdot 08 \cdot 10^{-2}$	0,195	$1 \cdot 44 \cdot 10^{-2}$	0,14
30 <sup>0</sup>	8,82	4,53	6,3	3,15	$4 \cdot 0 \cdot 10^{-2}$	0,375	$2,78 \cdot 10^{-2}$	0,27
45 <sup>0</sup>	12,35	6,35	8,8	4,41	$5 \cdot 6 \cdot 10^{-2}$	0,525	$3,89 \cdot 10^{-2}$	0,38
60 <sup>0</sup>	14,11	7,21	10,1	5,04	$6 \cdot 4 \cdot 10^{-2}$	0,60	$4,44 \cdot 10^{-2}$	0,43
საშ.								

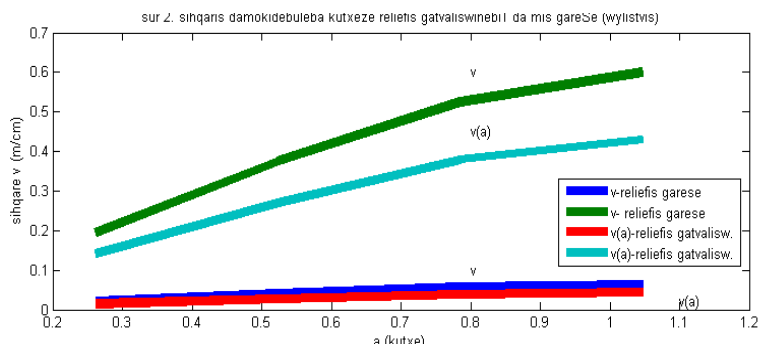
ადებული იყო რიონის ხეობა და ითვალისწინებდა, რომ ნავთობპროდუქტების დაღვრის ადგილი ზღვიდან დაშორებულია არა ნაკლები 5 კმ-სა და დინების დრო 2 საათია (ასეთ მცირე დროში აორთქლება და ნაპირზე დალექვა შეიძლება უბულველყოთ). აღმოჩნდა, რომ ნავთობპროდუქტების კონცენტრაციის მაქსიმუმი შავ ზღვამდე აღწევს 15-20 წუთში, როცა წყლის დინების სიჩქარე არის (2-3) მ/წმ (რაც ემთხვევა ჩვენ თეორიულ გათვლებს). იმ შემთხვევაში, როცა მდინარეებში წყალმცირობაა, მაშინ ნავთობპროდუქტების ლაქის მოძრაობის სიჩქარე მცირეა და მხოლოდ (0,3-0,4 მ/წმ) [5] (ეს სიდიდე მიღებულია რელიეფური პარამეტრის გავლენის გათვალისწინებით) და მისი ნაპირზე დალექვის რისკი იზრდება აგარის დროიდან 2 საათის განმავლობაში მიღებულმა გათვლებმა აჩვენა, რომ თუ აგარია ხდება ზღვიდან 5 კმ მანძილზე, მაშინ ზღვამდე აღწევს პროდუქტების თითქმის 80% დაახლოებით 25 წუთში.

ამასთანავე თუ აგარია მოხდა ზღვიდან შედარებით დიდ მანძილზე, მაშინ დამფუძნებელი პროდუქტები ზღვამდე არ აღწევენ და რჩებიან ხეობის ფსკერზე და ნაპირზე სანგრძლივი დროის განმავლობაში.

ცხრ. 4.2 –ში მიღებული შედეგების საილუსტრაციოდ ავაგეთ ნახ.4.1 და ნახ.42.



ნახ. 4.1. სიჩქარის დამოკიდებულება კუთხეზე ფსკერის რელიეფის გათვალისწინებით ( $V(a)$ ) და რელიეფის გათვალისწინების გარეშე ( $V$ ) ჰაერისათვის, სიბლანტის კოეფიციენტის სხვადასხვა მნიშვნელობის დროს.



ნახ. 4.2. სიჩქარის დამოკიდებულება კუთხეზე ფსკერის რელიეფის გათვალისწინებით ( $V(a)$ ) და რელიეფის გათვალისწინების გარეშე ( $V$ ) წყლისთვის, სიბლანტის კოეფიციენტის სხვადასხვა მნიშვნელობის დროს.

## 5.1 მიწისპირა ფენაში ოროგრაფიის გავლენა ქარის გელზე.

აღნიშნული იყო, რომ ქარი მნიშვნელოვან გავლენას ახდენს მეტეოროლოგიურ პროცესებზე: იწვევს კლიმატის ხასიათის შეცვლას, ქანების ეროზიას და სხვადასხვა გეოლოგიურ-გეოგრაფიული მოვლენების დაჩქარებას, დიდი რაოდენობით გადააქვს მტვერი და სხვა მინარევები, მოქმედებს ცხოველებზე და ადამიანზე. განსაკუთრებით აღსანიშნავია ქარის კინეტიკური ენერგიის გარდაქმნა ელექტროენერგიად, რის გამოც ქარს საკმაოდ დიდი მნიშვნელობა აქვს საზოგადოების ენერგეტიკულ უზრუნველყოფაში.

ქარის რეჟიმის ცვლილების ბუნებიდან გამომოდინარე ნათლად ჩანს ლოკალურ-რეგიონალურ პირობებში ქარის რეჟიმის შესწავლის უდიდესი ორორიული და პრაქტიკული მნიშვნელობა.

ქარი, ეს პაერის მასების პორიზონტალური და ვერტიკალური გადადგილებაა, ატმოსფეროში წნევისა და ტემპერატურის გრადიენტით წარმოქმნილი. დედამიწა ბრუნავს რა თავისი დერძის გარშემო, ქარს აძლიერებს კორილისის ძალაც. ამრიგად, გლობალურ მასშტაბებში ატმოსფეროს ცირკულაცია წარმოქმნება ამ ფაქტორების მოქმედებით. საშუალო განედებში დომინირებს წნევის გრადიენტით წარმოშობილი მოძრაობა, რომელიც ქრის იზობარების პარალელურად. მნიშვნელოვანია დედამიწის ზედაპირთან, პაერის მასათა გადადგილებაზე, ხახუნისა და ოროგრაფიის გავლენა, რომლებიც აკავებს მასათა მოძრაობას და აიძულებს პაერს გადადგილდეს დაბალი წნევის არისაკენ. რეალურ და გრადიენტულ ქარს შორის სხვაობა არის არაგეოსტროფიული ქარისწორედ, ის განაპირობებს პაერის ბრუნვით მოძრაობას, ციკლონებისა და ანტიციკლონების შექმნას, რომლებიც თავისთავად განაპირობებს ყოველდღიურ ამინდს. ქარის სიდიდე და მიმართულება ატმოსფეროს მიწისპირა ფენაში, დამოკიდებულია ლოკალურ გეოგრაფიულ პირობებზე. აქედან გამომდინარე, იგი მრავალსახოვანია და ამიტომ მოითხოვს ლოკალური პირობების შესწავლა-გაანალიზებას.

ქარის ველის შესწავლის საფუძველი არის ატმოსფეროს პიდროვერმოდინამიკა [3,-10]. მიწისპირა ფენაში, მთა-გორიან ტერიტორიაზე, რელიეფის გავლენის გამო, ქარი არ არის გეოსტროფიული და მის ბუნებაზე გავლენას ახდენს ხახუნის ძალა, რომელიც აუცილებლად არის გასათვალისწინებელი. ამასთანავე, თუ გავითვალისწინებთ მოლეკულური სიბლანტის სიმცირეს ტურბულენტურთან შედარებით და უგულველვყოფთ მას, მაშინ ატმოსფეროს დინამიკის განტოლებათა სრული სისტემა პაერის პორიზონტალური მოძრაობისათვის ჩაიწერება შემდეგი სახით [8,9]:

$$\frac{du}{dt} = -\frac{1}{\rho} \frac{\partial p}{\partial x} + lv + \frac{\partial}{\partial z} \left( k \frac{\partial u}{\partial z} \right); \quad \frac{dv}{dt} = -\frac{1}{\rho} \frac{\partial p}{\partial y} - lu + \frac{\partial}{\partial z} \left( k \frac{\partial v}{\partial z} \right);$$

$\frac{d}{dt}$  =  $\frac{\partial}{\partial t}$  +  $u \frac{\partial}{\partial x}$  +  $v \frac{\partial}{\partial y}$  +  $w \frac{\partial}{\partial z}$  არის ეილერის სიმბოლო, ხოლო  $u, v, w$  არის სიჩქარის მდგრებები  $ox, oy, oz$  საკოორდინატო დერძების მიმართ,  $\rho$  – სიმკვრივე,  $t$  – დრო,  $p$  – წნევა,  $l = 2\omega \sin \varphi$  კორიოლისის პარამეტრია,  $\omega$  – დედამიწის ბრუნვის კუთხური სიჩქარე,  $\varphi$  – გეოგრაფიული განედი,  $k$  – ტურბულენტობის კოეფიციენტია, განვითარებულ მდგრმარეობაში სტაციონარობის გათვალისწინებით სისტემა შემდეგი სახით ჩაიწერება:

$$\frac{\partial}{\partial z} \left( k \frac{\partial u}{\partial z} \right) - l(v + v_g) = o \quad (5.1)$$

$$\frac{\partial}{\partial z} \left( k \frac{\partial v}{\partial z} \right) + l(u - u_g) = o$$

მოვახდინოთ (5.1) სისტემის ინტეგრირება ნულიდან ქვედა სასაზღვრო ფენის საზღვრამდე და გავითვალისწინოთ ის გარემოება, რომ მითითებულ ფენაში (5.1) განტოლების მარცხენა მხარეში მეორე წევრების რიცხვითი სიდიდე შეადგენს ტურბულენტური წევრის მნიშვნელობის მაქსიმუმ 10%-ს, რის გამოც მათი უგულველყოფა შეიძლება, მივიღებთ:

$$k \frac{du}{dz} = k \frac{du}{dz} \Big|_{z \rightarrow 0} = \frac{\tau_{0x}}{\rho}; k \frac{dv}{dz} = k \frac{dv}{dz} \Big|_{z \rightarrow 0} = \frac{\tau_{0y}}{\rho} \quad (5.2)$$

სადაც  $\tau_{0x}$  და  $\tau_{0y}$  არის ტურბულენტური ანუ ზედაპირული ხახუნის დაძაბულობის მხები მდგენელების პროექციები შესაბამის დერებზე სიმარტივისათვის მივიღოთ, რომ  $\alpha$  დერმი მიმართულია პაერის ნაკადის მიმართულებით, მაშინ  $v = o$  და  $\tau_{0y} = o$ , ამიტომ

$$k \frac{dc}{dz} = \frac{\tau_0}{\rho} \quad (5.3)$$

სადაც  $c$  სრული პორიზონტალური სიჩქარეა და მისი დამოკიდებულება სიმაღლეზე მოიცემა პრანტლის ფორმულით [3-5,13]:

$$c(z) = \frac{\nu^*}{\gamma} \ln \frac{z + z_0}{z_0} \quad (5.4)$$

სადაც  $\nu^* = \sqrt{\frac{\tau_0}{\rho}}$  დინამიკური სიჩქარეა,  $\gamma$  - კარმანის მუდმივა,  $z_0$  დედამიწის მოსილობის სიმაღლე.

ამრიგად, როგორც (5.4)-დან ჩანს ქარის სიჩქარე მიწისპირა ფენაში ზედაპირთან ახლოს სწრაფად იზრდება, შემდეგ კი ზრდა თანდათანობით ნებდება, ცხადია ატმოსფეროს სტრატიფიკაციის გათვალისწინებით. სინამდვილეში ქარი ყოველთვის მეტ ნაკლებად განსხვავდება გეოსტროფიულისაგან. ეს განსხვავება მაქსიმუმ 3.5 მ/წმ , ანუ ფაქტიური ქარის, 32% აღწევს და მინიმუმი 1მ/წმ (10%). ქარის გეოსტროფიული მნიშვნელობიდან გადახრის მოდულისათვის მიღებულა, რომ [3-5]

$$\lfloor \bar{V} \rfloor = \frac{1}{l} \sqrt{\frac{d_r u}{dt} + \frac{d_r v}{dt}} \quad (5.5)$$

$$\text{სადაც } \frac{d_r}{dt} = \frac{\partial}{\partial t} + u \frac{\partial}{\partial x} + v \frac{\partial}{\partial y}$$

აგეოსტროფიული ქარის მიმართულებისათვის დადგენილია პრაქტიკული მნიშვნელობის წესი: ნაკადის მოძრაობის მიმართულებით, ქარის აბსოლიტური სიდიდის ზრდისას აგეოსტროფიული ქარი მიმართულია სიჩქარის მიმართულებიდან მარცხნივ, ხოლო შესუსტების შემთხვევაში კი- მარჯვნივ.

ოროგრაფიული ფაქტორი გაგლენა მიწისპირა ფენაში შეიძლება განხორციელდეს სხვადასხვა მიღებომით. განვიხილოთ ერთერთი მარტივი, პრაქტიკული მეთოდი ე.წ. „ტენილის“ მეთოდი. მეთოდის საფუძველია ქარის სიჩქარის სიმაღლის მიხედვით ცვლილების ლოგარითმული კანონი [3-5]

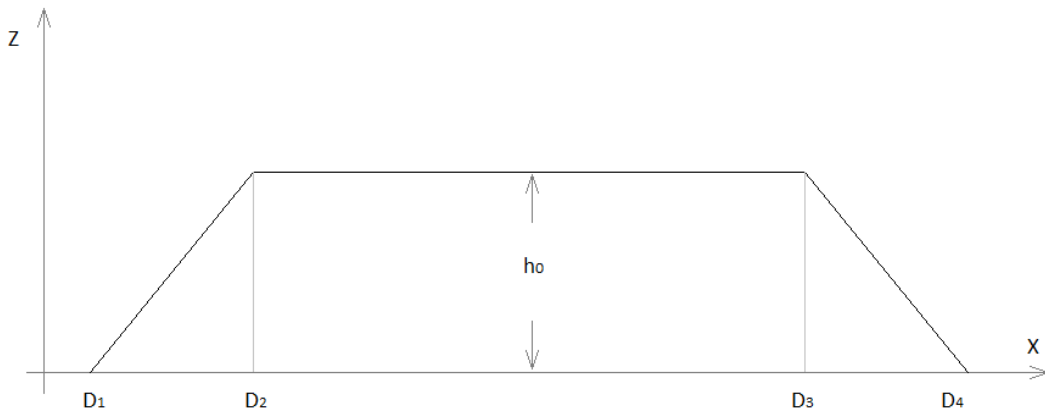
$$U = U_1 \frac{\ln \frac{z}{z_0}}{\ln \frac{z_1}{z_0}} \quad (5.6)$$

თუ ჰაერის ნაკადი მთის შემხვედრია , ე.ო. აღმავალი დინებაა, მაშინ ეს ფორმულა ასე ჩაგრილოდა:

$$U = U_1(x) \frac{\ln \frac{z-h(x)}{z_0}}{\ln \frac{z_1}{z_0}} \quad (5.7)$$

ხოლო როცა დაღმავალია დინება  $U_1(x)=U_1^*(x)$ , რომელიც შეიძლება განისაზღვროს ჰაერის ნაკადში შეშფოთების ჩაქრობის მონაცემებით:

$$U_1^*(x)=U_1|_{x=d_4} \quad (5.8)$$



### ნახ. 5.1

რელიეფი წარმოდგება ტებილით (ნახ. 5.1.), რომელიც აღიწერება ფორმულით:

$$h(x)=h_0[1-(\frac{x-d_2}{d_2-d_1})^2]^2 \quad (5.9) \quad \text{როცა} \quad d_1 \leq x \leq d_2$$

$$h(x)=h_0[1-(\frac{x-d_3}{d_4-d_3})^2]^2 \quad (5.10) \quad \text{როცა} \quad d_3 \leq x \leq d_4$$

ხოლო  $h(x)=h_0$  , როცა  $d_2 \leq x \leq d_3$  ;  $h(x)=0$ , როცა  $x \leq d_1$  და  $x \geq d_4$ . ამ ფორმულებში  $U_1$  იქნება ქარის სიჩქარე საწყის პუნქტში (რელიეფის დასაწყისში), ასაღებია სამი მნიშვნელობა მაქ., მინ., და საშუალო.  $z_0$  არის დედამიწის ზედაპირის მოსილობის სიმაღლე და იცვლება 3 სმ- დან (თოვლის საფარი) 130 სმ-მდე (ხორბლის ყანა, ბუჩქნარი, მცირე სიმაღლის ტყე დ.ა.შ.);  $h_0= (30-50) \text{ მ. } z_1$  იცვლება რამოდენიმე მეტრიდან ფლუგერის სიმაღლემდე. ქარის სიჩქარე  $z_1$  დონეზე მიახლოვებით შეიძლება ასე დაითვალის: ლიტერატურიდან ცნობილია, რომ 100 მეტრ სიმაღლეზე სიჩქარე მაქსიმალურია და უდრის 40მ/წმ.-ს. მიღებულია, რომ სიმაღლის შემცირებით ქარის

სიდიდე პროპორციულად მცირდება. აქედან გამომდინარე, მაგალითად 6 მეტრ სიმაღლეზე ქარის სიჩქარე იქნება 2, 4 მ/წმ. კავშირი ქარის სიჩქარესა და ტურბულენტობის კოეფიციენტს შორის მოყვანილი მეთოდით, დამყარებულია დაშვებაზე, რომ მათ შორის სამართლიანია პროპორციული დამოკიდებულება, მაგალითად შემდეგი სახით [8, 9]:

$$k_z = \nu + \alpha_1 U_1(x)[z - h(x)] \quad (5.11)$$

სადაც  $\nu$  ემპირიულად შეირჩევა 0-დან 1 -ის ფარგლებში;  $\alpha_1 = \frac{k_1^0}{U_1^0}$ ,  $k_1^0 = k_1$  -ის მნიშვნელობას სწორ-ბრტყელ ზედაპირის უბანზე  $U_1^*$  იქნება სიჩქარე რელიეფის ბოლო პუნქტში. შეიძლება „ტეხილის“ მეთოდი გამოყენებული იქნას რამდენიმეჯერ თანმიდევრობით, პარამეტრების შესაბამისი ცვლილებით.

მაგალითისათვის ავიღოთ წყალტუბო, ქუთაისი, ზესტაფონის მონაკვეთი და მივიღოთ პარამეტრების შემდეგი მნიშვნელობები:

$d_1 = 0$  - ემთხვევოდეს კოორდინატთა სათავეს;  $d_2 = 10^4$  მ - მანძილი წყალტუბოდან ქუთაისამდე;  $d_3 = 5 \cdot 10^4$  მ - მანძილი ქუთაისიდან საქარამდე;  $d_4 = 1,5 \cdot 10^4$  მ - მანძილი საქარადან ზესტაფონამდე;  $z_0$  დედამიწის „მოსილობის“ სიმაღლე იცვლება 30სმ-დან 2 მეტრამდე;  $z_1$  მ - ფლუგერის სიმაღლე;  $z$  იცვლება 2 მეტრიდან 60 მეტრამდე;  $h_0 = 60$  მ, რადგან  $u_1 = u|_{x=d_4}$  ამიტომ იგი განისაზღვრება, ზემოთ მითითებული, სიჩქარის სიმაღლეზე პროპორციული დამოკიდებულებით, ქედის მიმართ ჰაერის აღმავალი და დაღმავალი ნაკადისათვის ცალ-ცალკე-თუ პირველი შემთხვევისათვის საწყის სიმაღლედ მივიღებთ 12მეტრს, ხოლო მეორესათვის 4 მეტრს, მაშინ შესაბამისად:

$U_1^\uparrow = 4,8$  მ/წმ და  $U_1^\downarrow = 1,6$  მ/წმ. აღმავალი დინებისათვის მე-(9)-ე ფორმულით მივიღებთ  $h(x) = 33, 75$  მ. ხოლო  $U(x) = 5,6$  მ/წმ. დაღმავალი ნაკადისათვის კი შესაბამისად:  $h_o = 35,6$  მ და  $U(x) = 1,76$  მ/წმ. განხილულ მონაკვეთზე ქარის მიღებული სიდიდეები კარგ თანხმობაშია ოპერატიულ პრაქტიკაში დაკვირვებულ მნიშვნელობებთან, ცდომილება (15-20)%-, რაც ქარის ველისათვის დასაშვებ მიახლოვებად ითვლება. განხილულ მაგალითში, თუ  $\nu = 0,5$ , ხოლო  $k_1^0$  იცვლება (4-10) მ.კვ./წმ -ის ფარგლებში, მაშინ (5.11)-ის მიხედვით მივიღებთ:  $k_z = (9,9-20,6)$  კვ.მ/წმ.

ეს სიდიდეც მთის ზედაპირიდან 5 მეტრ სიმაღლეზე მისაღებია.

## 6. დროის მცირე პერიოდში ატმოსფერული შეშფოთებების დინამიკა მთაგორიან ტერიტორიაზე (გათვლები და მისი შედეგები).

თეორიულად მიღებული ფორმულები გამოქვეყნებულია სხვადასხვა შრომებში [21-25]. საანგარიშო პერიოდში მოხდა ამ დასკვნების რეალიზაცია და ანალიზი სხვადასხვა კონკრეტულ შემთხვევაში.

გამოვთვალოთ წნევის ცვლილება რელიეფის გათვალისწინებით და რელიეფის გათვალისწინების გარეშე, ამისათვის წარმოვადგინოთ პორიზონტალური ადგექციები  $\bar{A}_\Omega$  და  $\bar{A}'_\Omega$  სხვადასხვა მიახლოებაში.

1. შეშფოთებული პაერის ნაკადის აღმექცია პრცელდება მხოლოდ  $\alpha$  დერძის მიმართულებით, ე.ი[23-27].

$$\bar{A}_\Omega = u \frac{\partial \Omega}{\partial x} = - \frac{\partial \Psi}{\partial y} \frac{\partial \Delta \Psi}{\partial x} \quad (6.1)$$

#### (6) ფორმულის გათვალისწინებით

$$\bar{A}_\Omega = - \frac{3 \cdot Q^2}{32 \cdot \pi^2} \cdot \frac{\sin 2\alpha}{r^6} \quad (6.2)$$

ხოლო

$$\frac{\partial \Psi}{\partial t} = - \frac{3 \cdot R^2 \cdot Q^2}{128 \cdot \pi^2} \cdot \frac{\sin 2\alpha}{r^6} \quad (6.3)$$

წნევის ცვლილებისათვის მივიღებთ:

$$\Delta p = -\rho \frac{\partial \Psi}{\partial t} = \rho \frac{3 \cdot R^2 \cdot Q^2}{128 \cdot \pi^2} \cdot \frac{\sin 2\alpha}{r^6} \quad (6.4)$$

როგორც (6.4) ფორმულიდან ჩანს იმ შემთხვევაში, როდესაც რელიეფს არ ვითვალისწინებთ წნევის ცვლილება მანძილის მიხედვით მე-6 ხარისხის უკუკროპორციულია. ჩვენ გამოვთვალეთ წნევის ცვლილების მნიშვნელობები წყაროდან  $r=5, 10, 20 \dots 100$  მ მანძილისათვის კუთხის სამი მნიშვნელობის დროს  $(\frac{\pi}{6}, \frac{\pi}{4}, \frac{\pi}{3})$ , როცა  $R=500\text{მ}$ ,  $\rho=1,3 \text{ კგ/მ}^3$ ,  $Q=5000 \text{ მ}^3/\text{წმ}$  (ცხრ.6.1). როგორც ცხრილიდან ჩანს „შეშფოთებული“ პაერის ნაკადის წნევა მანძილის ზრდასთან ერთად მნიშვნელოვნად ეცემა და  $r=100$  მ-სთვის „შეშფოთებული“ პაერის ნაკადი აღარ გვაქს, ვინაიდან 100 მ-სთვის წნევის ცვლილება  $\Delta p = 0,02$  პა (იხ. ცხრ.6.1).

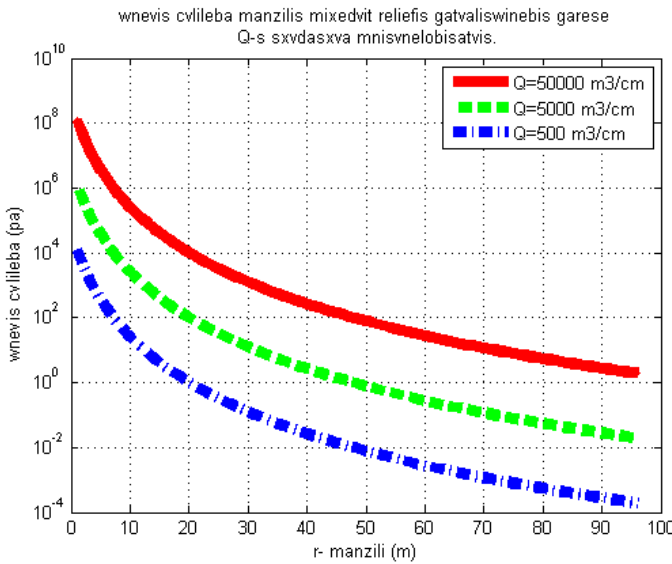
აგრეთვე აღმოჩნდა, რომ წნევის ცვლილება შედარებით მეტია როცა  $\alpha = \frac{\pi}{4}$ , მანძილის ნებისმიერი მნიშვნელობისათვის. მაშასადამე, როდესაც არ ვითვალისწინებთ რელიეფს, „შეშფოთებული“ პაერის ნაკადის ძირითადი მასა

გრცელდება ჰორიზონტისადმი  $45^{\circ}$ -იანი კუთხით. მიუხედავად იმისა რომ წნევა აფეთქების ცენტრის სიახლოეს დიდია ( $10 \text{~მ-ზე} \sqrt{3}$  წნევის ცვლილება არის  $\Delta p = 1,9 \cdot 10^4 \text{პა}$ ) მანძილის ზრდასთან ერთად იგი სწრაფად ეცემა ( $50\text{-ზე} \Delta p = 1,2 \text{~პა}$ ), ეს ბუნებრივია, რადგან როდესაც რელიეფს არ ვითვალისწინებოთ წარმოშობილი „შეშფოთებული” ნაკადის წნევა უფრო სწრაფად ეცემა ატმოსფეროს დია სივრცეში.

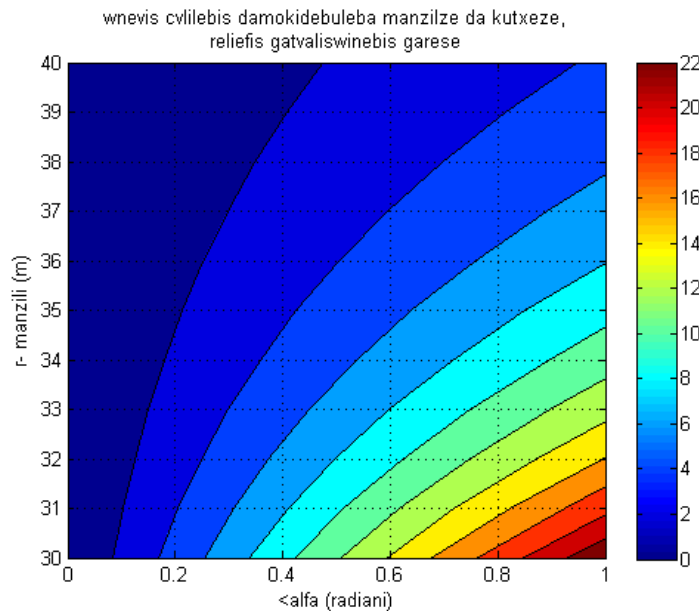
საილუსტრაციოდ ავაგეთ წნევის ცვლილების დამოკიდებულება მანძილზე ( $R = 500\text{მ}, \rho = 1,3 \text{~გ/მ}^3, \alpha = \frac{\pi}{4}$ ,) წყაროს ინტენსივობის სამი მნიშვნელობისათვის ( $Q = 500, 5000, 50000 \text{~მ}^3/\sqrt{3}$ ) (სურ. 6.1), როგორც სურათიდან ჩანს როცა  $Q = 50000 \text{~მ}^3/\sqrt{3}$ , კელაზე დიდია ჰაერის ნაკადის წნევა და შეშფოთებული ნაკადი გრცელდება შედარებით დიდ მანძილზე (დაახლოებით  $r = 150 \text{~მ-დე}$ ). თვალსაჩინოებისათვის მოცემულია წნევის ცვლილების კონტურული გრაფიკი (სურ. 6.2), სადაც თვალნათლივ ჩანს რომ  $r = 30 \text{~მ-დან} 40 \text{~მ-დე} \sqrt{3}$  წნევის ცვლილების ინტერვალი შესაბამისად არის  $\Delta p = 22 \text{~პა-დან} 4 \text{~პა-მდე}$ .

ცხრ. 6.1. წნევის ცვლილების მნიშვნელობები წყაროდან დაშორების სხვადასხვა  $r$  მანძილისათვის კუთხის სამი მნიშვნელობის დროს რელიეფის გათვალისწინების გარეშე.

r (მ)	$\Delta p (\text{პა})$		
	$\frac{\pi}{6}$	$\frac{\pi}{4}$	$\frac{\pi}{3}$
5	$1 \cdot 10^6$	$1,2 \cdot 10^6$	$1 \cdot 10^6$
10	$1,6 \cdot 10^4$	$1,9 \cdot 10^4$	$1,6 \cdot 10^4$
20	257	297	257
30	22,6	26	22,6
40	4	4,6	4
50	1,05	1,2	1,05
60	0,4	0,5	0,4
70	0,1	0,2	0,1
100	0,02	0,03	0,02



სურ. 6.1. წნევის ცვლილების დამოკიდებულება მანძილზე რელიეფის გათვალისწინების გარეშე აფეთქების ინტენსივობის სამი მნიშვნელობისათვის.



სურ. 6.2. წნევის ცვლილების დამოკიდებულება მანძილზე და კუთხეზე რელიეფის გათვალისწინების გარეშე.

2. ნაკადის გავრცელება ხდება მთა-გორიან ტერიტორიაზე, ამიტომ

$$\overline{A'_\Omega} = \frac{Q}{4\pi r^2} (a \cdot \sin(\alpha) - b \cdot \cos(\alpha)) \quad (6.5)$$

ხოლო  $\Delta p$  განისაზღვრება შესაბამისად:

$$\Delta p = -\rho \left( \frac{1}{2} \ln \left( \frac{2}{\sqrt{a^2 + b^2}} \right) - 0,25 - \ln \sqrt{R} \right) \overline{A}'_{\Omega} R^2 \quad (6.6)$$

სადაც  $\overline{A}'_{\Omega}$  აიღება (6.5) ფორმულიდან.

როგორც (6.6) ფორმულიდან ჩანს როდესაც რელიეფს ვითვალისწინებთ წნევის ცვლილება მანძილის კვადრატის უკუპროპორციულია. ჩვენ გამოვთვალეთ წნევის ცვლილების მნიშვნელობები წყაროდან  $r=5, 10, 20 \dots 300$  მ მანძილისათვის კუთხის სამი მნიშვნელობის დროს  $(\frac{\pi}{6}, \frac{\pi}{4}, \frac{\pi}{3})$ , და რელიეფის კონფიგურაციის ორი პირობის გათვალისწინებით ( $a>b; a< b$ ), როცა  $R=500\text{მ}$ ,  $\rho=1,3 \text{ კგ/მ}^3$ ,  $Q=5000 \text{ მ}^3/\text{წ}$ . (ცხრ.6.2). როგორც ცხრილიდან ჩანს იმ შემთხვევაში, როცა  $a < b$  „შეშფოთებული” პარამეტრის ნაკადის წნევა მანძილის ზრდასთან ერთად მკვეთრად ეცემა და  $r=300$  მ-სთვის „შეშფოთებული” პარამეტრის ნაკადი ადარ გვაქვს, რადგან 300 მ-სთვის წნევის ცვლილება  $\Delta p = 0,4$  პა (იხ. ცხრ.6.2).

აგრეთვე აღმოჩნდა, რომ წნევის ცვლილება უმნიშვნელოდ მეტია როცა  $\alpha = \frac{\pi}{6}$ , მანძილის ნებისმიერი მნიშვნელობისათვის. მაშასადამე, როდესაც ვითვალისწინებთ რელიეფს, „შეშფოთებული” პარამეტრის ნაკადის ძირითადი მასა ვრცელდება პორიზონტისადმი  $30^\circ$ -იანი კუთხით და წნევაც ყველაზე დიდია ამ დროს, რადგან რელიეფი „გზას უდობავს” ნაკადს და წნევის დაცემაც ნელა მიმდინარეობს ამ კუთხეზე, ვიდრე  $60^\circ$  ან  $45^\circ$  შემთხვევებში.

იმ შემთხვევაში, როცა  $a > b$ , წნევის ცვლილებისათვის მივიღეთ უარყოფითი მნიშვნელობები კუთხის ნებისმიერი მნიშვნელობის დროს, ე.ი. როცა  $a > b$  ნაკადი ბრუნდება უკან.

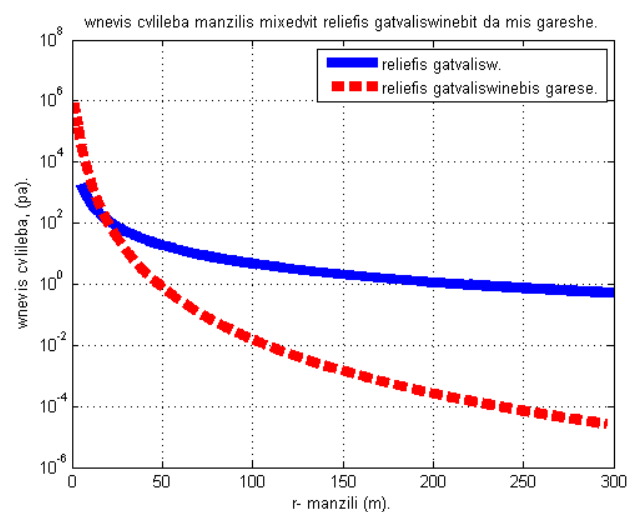
შედარებისათვის აგებულია წნევის ცვლილების მრუდები რელიეფის გათვალისწინებით და რელიეფის გათვალისწინების გარეშე ( $R=500\text{მ}$ ,  $\rho=1,3 \text{ კგ/მ}^3$ ,  $\alpha = \frac{\pi}{4}$ ) (სურ.6.3), როგორც სურათიდან ჩანს წნევის დაცემა უფრო ნელა ხდება იმ შემთხვევაში, როდესაც რელიეფს ვითვალისწინებთ, რადგან როგორც ზემოთ აღვნიშნეთ დაბრკოლება ხელს უშლის წნევის სწრაფ დაცემას.

თვალსაჩინოებისათვის მოცემულია წნევის ცვლილების კონტურული გრაფიკი (სურ. 6.4), სადაც თვალნათლივ ჩანს რომ  $r=20$  მ-დან 50 მ-დე წნევის ცვლილების ინტერვალი შესაბამისად არის  $\Delta p = 120$  პა-დან 20 პა-დე.

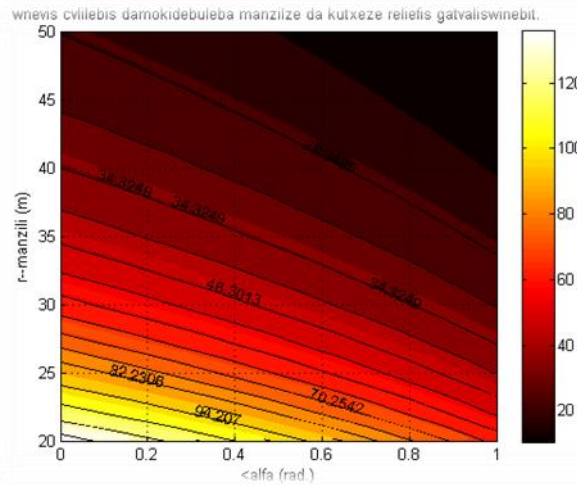
საილუსტრაციოდ ავაგეთ სამგანზომილებიანი გრაფიკი სურ.(6.5),  $x$  დერძზე გადაზომილია კუთხის მნიშვნელობები,  $y$  დერძზე მანძილი და  $z$  დერძზე წნევის ცვლილების მნიშვნელობები, როგორც სურათიდან ჩანს წნევის დაცემა ყველაზე მნიშვნელოვანია  $r=1$  მ-დან 50 მ-დე შუალედისათვის და წნევის ცვლილება კუთხის შემცირებასთან ერთად იზრდება.

ცხრ. 6.2. წევის ცვლილების მნიშვნელობები წყაროდან დაშორების სხვადასხვა რ მანძილისათვის კუთხის სამი მნიშვნელობის დროს რელიეფის კონფიგურაციის ორი პირობის გათვალისწინებით.

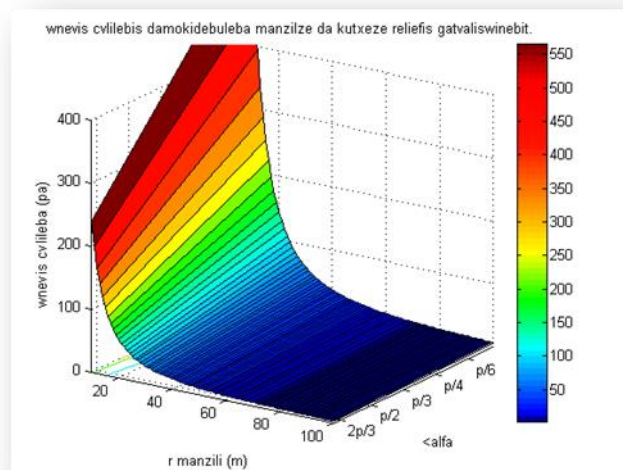
r (მ)	$\Delta p$ (მმ)					
	$a > b$ ( $a = 10^{-3}, b = 10^{-4}$ )			$a < b$ ( $a = 10^{-4}, b = 10^{-3}$ )		
	$\frac{\pi}{6}$	$\frac{\pi}{4}$	$\frac{\pi}{3}$	$\frac{\pi}{6}$	$\frac{\pi}{4}$	$\frac{\pi}{3}$
5	-940	$-1,4 \cdot 10^3$	$-1,8 \cdot 10^3$	$1,9 \cdot 10^3$	$1,4 \cdot 10^3$	940
10	-235	-361	-464	463	362	235
20	-59	-90	-115	116	90	59
30	-26	-40	-52	52	40	26
50	-9,4	-14,5	-18,5	19	14,5	9,4
70	-4,8	-7,4	-9,5	9,5	7,4	4,8
80	-3,6	-5,7	-7,2	7,2	5,7	3,6
90	-2,9	-4,5	-5,7	5,7	4,5	2,9
100	-2,4	-3,6	-4,6	4,6	3,6	2,4
150	-1	-1,6	-2	2	1,6	1,0
200	-0,6	-0,9	-1,2	1,1	0,9	0,6
250	-0,4	-0,6	-0,7	0,7	0,6	0,4
300	-0,3	-0,4	-0,5	0,5	0,4	0,3



სურ. 6.3. წნევის ცვლილების დამოკიდებულება მანძილზე რელიეფის გათვალისწინებით და რელიეფის გათვალისწინების გარეშე.



სურ. 6.4. წნევის ცვლილების დამოკიდებულება მანძილზე და კუთხეზე რელიეფის გათვალისწინებით.



სურ. 6.5. წნევის ცვლილების დამოკიდებულება მანძილზე და კუთხეზე რელიეფის გათვალისწინებით.

3. ნაკადის გავრცელება ხდება მთა-გორიან ტერიტორიაზე და ადვექციის გავრცელება პარალელისა და მერიდიანის მიმართულებით არის არაერთგვაროვანი, ამ პირობებში  $r = \sqrt{x^2 + \frac{y^2}{4}}$  (ან  $r = \sqrt{\frac{x^2}{4} + y^2}$ ) და  $\overline{A}'_\Omega$ -ის გამოსახულებაში პირველი იაკობიანი ( $\Delta\Psi, \Psi$ ) არ უდრის ნულს, როგორც ეს იყო მე-2 შემთხვევაში. სათანადო გარდაქმნების შემდეგ მივიღებთ:

$$\overline{A'_\Omega} = -\frac{1}{\eta^2} \frac{18 \cdot Q^2 \sin 2\alpha}{512 \cdot \pi^2 r^6} - \frac{Q}{4\pi r^2} \left( \frac{a \cdot \sin(\alpha)}{4} - b \cdot \cos(\alpha) \right) \quad (6.7)$$

შესაბამისად:

$$\Delta p = -\rho \left( \frac{1}{2} \ln \left( \frac{2}{\sqrt{a^2 + b^2}} \right) - 0,25 - \ln \sqrt{R} \right) \overline{A'_\Omega} R^2 \quad (6.8)$$

როგორც (6.8) ფორმულიდან ჩანს როდესაც რელიეფს ვითვალისწინებთ და კუშვებთ, რომ წყაროდან „შეშფოთებული“ ნაკადის გავრცელება არათანაბარია პარალელისა და მერიდიანის მიმართულებით, ანუ  $r = \sqrt{x^2 + \frac{y^2}{4}}$  მაშინ წნევის ცვლილება უცაპროპორციულია მანძილის კვადრატისა. ჩვენ გამოვთვალეთ წნევის ცვლილების მნიშვნელობები წყაროდან  $r=10, 20 \dots 300$  მ მანძილისათვის კუთხის სამი მნიშვნელობის დროს  $(\frac{\pi}{6}, \frac{\pi}{4}, \frac{\pi}{3})$ , და რელიეფის კონფიგურაციის სამი პირობის გათვალისწინებით ( $a>b; a<b; a=b$ ), როცა  $R=500\text{მ}$ ,  $\rho=1,3 \text{ კგ/მ}^3$ ,  $Q=5000 \text{ მ}^3/\text{წ}$ . შესაბამისი შედეგები მოცემულია ცხრ.3-ში. როგორც ცხრილიდან ჩანს, იმ შემთხვევაში, როცა  $a > b$  (მთა-გორიანობა პარალელის გასწვრივ უფრო მეტია ვიდრე მერიდიანის გასწვრივ), წნევის ცვლილების მნიშვნელობები ძალიან სწრაფად ეცემა 30 მ-დე, ხოლო შემდეგ ხდება ნაკადის შემობრუნება უკან, რაც ბუნებრივია რადგან, როცა  $a > b$  დაბრკოლება  $x$  დერძის მიმართულებით იმდენად დიდია რომ ნაკადი ვერ ახერხებს გავრცელებას და გარკვეული მანძილის შემდეგ უკან ბრუნდება კუთხის ნებისმიერი მნიშვნელობისათვის.

როცა  $a < b$ , (მთა-გორიანობა მერიდიანის გასწვრივ უფრო მეტია ვიდრე პარალელის გასწვრივ), „შეშფოთებული“ ჰაერის ნაკადის წნევის ცვლილება მანძილის ზრდასთან ერთად მკვეთრად ეცემა 30 მ-დე, ხოლო 50 მ-ის შემდეგ ხდება წნევის ცვლილების ნელი ტემპით დაცემა. ამ შემთხვევაში „შეშფოთებული“ ნაკადის გავრცელების მაქსიმალური მანძილი არის დაახლოებით 200 მ-დე ( $r=200 \text{ მ}$ -სთვის წნევის ცვლილება  $\Delta p = 1,2$  პა (იხ. ცხრ.6.3)). აგრეთვე აღმოჩნდა, რომ წნევის ცვლილება 20 მ-დე უმნიშვნელოდ მეტია როცა  $\alpha = \frac{\pi}{4}$ , ე.ი 20 მ-დე ნაკადი ძირითადად ვრცელდება  $45^\circ$  -იანი კუთხით, ხოლო შემდეგ მისი გავრცელება ხდება  $30^\circ$ -იანი კუთხით (თუმცა ეს განსხვავება უმნიშვნელო). მაშასადამე, როდესაც ვითვალისწინებთ რელიეფს, „შეშფოთებული“ ჰაერის ნაკადის ძირითადი მასა ვრცელდება ჰორიზონტისადმი თავდაპირველად  $45^\circ$  გრადუსიანი კუთხით, წნევაც

ყველაზე დიდია ამ დროს, გარკვეული მანძილის შემდეგ წნევა იზრდება კუთხის შემცირებით, რაც ბუნებრივია, რადგან დაბრკოლების შეხვედრის შემდეგ წნევის დაცემა შედარებით ნელა მიმდინარეობს, რადგან რელიეფი „გზას უდობავს” ნაკადს კიდრე  $60^{\circ}$  ან  $45^{\circ}$  შემთხვევებში.

როცა  $a=b$ , (მთა-გორიანობა პარალელის გასწვრივ და მერიდიანის გასწვრივ ერთნაირია), „შეშფოთებული” პაერის ნაკადის წნევის ცვლილება მანძილის ზრდასთან ერთად მკვეთრად ეცემა 20 მ-მდე და წნევის ცვლილება უმნიშვნელოდ მეტია  $45^{\circ}$ -ზე, ხოლო 30 მ-ის შემდეგ ხდება წნევის ცვლილების ნელი ტემპით დაცემა და ნაკადის გავრცელება ძირითადად ხდება  $30^{\circ}$ -იანი კუთხით. ამ შემთხვევაში „შეშფოთებული” ნაკადის გავრცელების მაქსიმალური მანძილი არის დაახლოებით 150 მ-მდე ( $r=150$  მ-სთვის წნევის ცვლილება  $\Delta p=1,1$  პა (იხ. ცხრ.6.3)).

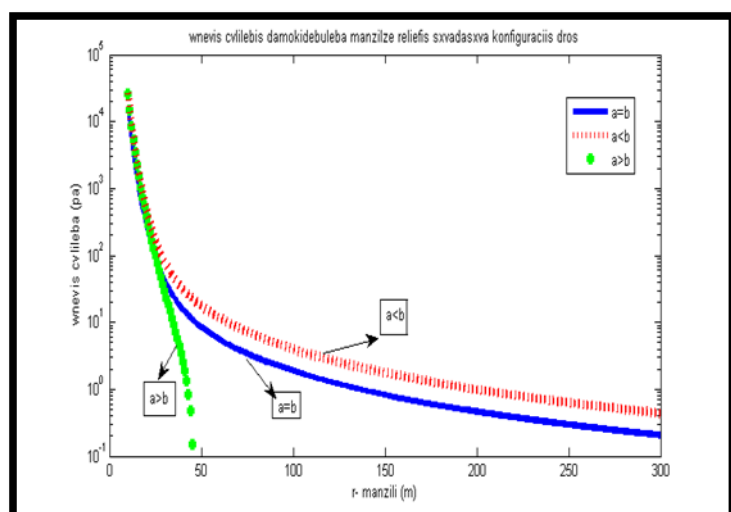
შედარებისათვის აგებულია წნევის ცვლილების მრუდები რელიეფის კონფიგურაციის სამი პირობისათვის ( $a>b$ ;  $a< b$ ;  $a=b$ ), ( $R=500\delta$ ,  $\rho=1,3 \text{ კგ/მ}^3$ ,  $\alpha=\frac{\pi}{4}$ ), (სურ.6.6), როგორც სურათიდან ჩანს წნევის დაცემა ძალიან სწრაფად ხდება, როცა  $a>b$ , კიდრე სხვა შემთხვევაში. ხოლო როცა  $a \leq b$  წნევა მკვეთრად ეცემა 30 მ-მდე, ხოლო შემდეგ მისი ცვლილება ნელა მიმდინარეობს. თვალსაჩინოებისათვის მოცემულია წნევის ცვლილების კონტურული გრაფიკი (სურ.6.7), სადაც თვალნათლივ ჩანს რომ  $r=30$  მ-დან 70 მ-მდე წნევის ცვლილების ინტერვალი შესაბამისად არის  $\Delta p=80$  პა-დან 10 პა-მდე.

საილუსტრაციოდ ავაგეთ სამგანზომილებიანი გრაფიკი (სურ. 6.8),  $x$  ღერძზე გადაზომილია კუთხის მნიშვნელობები,  $y$  ღერძზე მანძილი და  $z$  ღერძზე წნევის ცვლილების მნიშვნელობები, როგორც სურათიდან ჩანს წნევის დაცემა ყველაზე საგრძნობია  $r=1$  მ-დან 30 მ-მდე შუალედისთვის და წნევის ცვლილება კუთხის შემცირებასთან ერთად იზრდება.

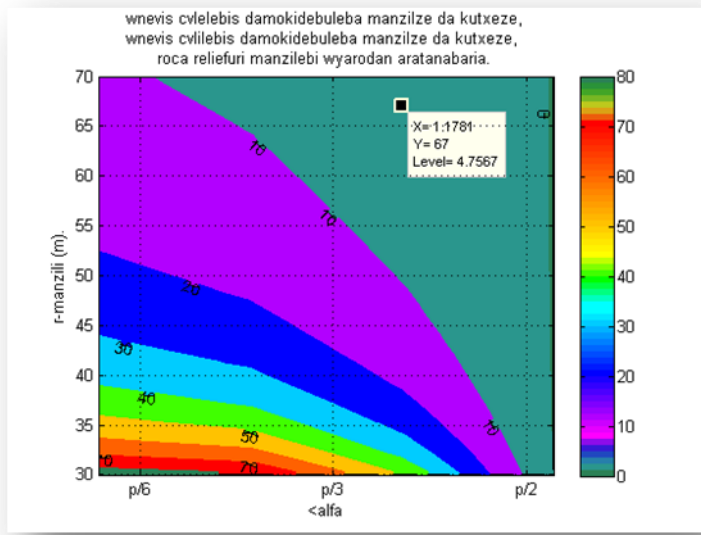
ანალოგიური გამოთვლები არა დენის ფუნქციის, არამედ სიჩქარის პოტენციალის მიმართ შემოწმებულ იქნა რეალურ მასალაზე გორში და ცხინვალში 2008 წლის საომარი მოქმედების შემდეგ და გამოქვეყნებულია შრომაში .

ცხრ. 6.3. წნევის ცვლილების მნიშვნელობები წყაროდან დაშორების სხვადასხვა  $r$  მანძილისათვის კუთხის სამი მნიშვნელობის დროს რელიეფის კონფიგურაციის სამი პირობის გათვალისწინებით (ადგექციის გავრცელება პარალელისა და მერიდიანის მიმართულებით არის არაერთგვაროვანი).

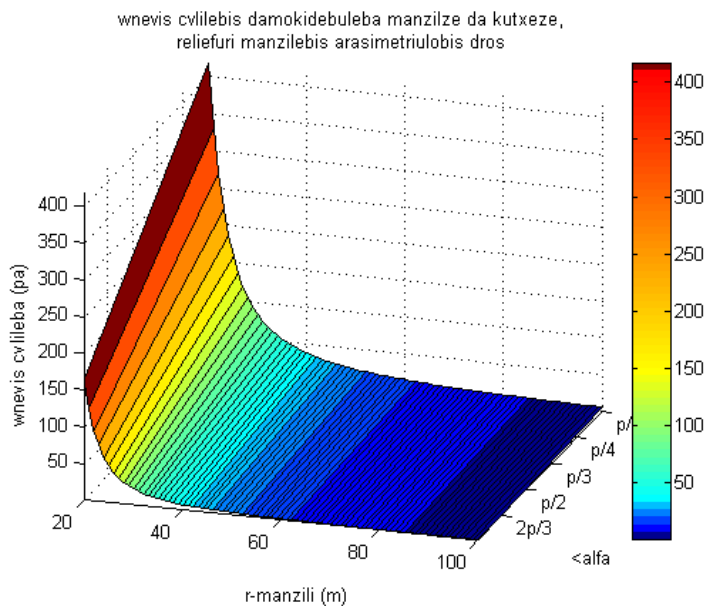
r (δ)	$\Delta p$ (3δ)							
	a > b ( $a = 10^{-3}, b = 10^{-4}$ )			a < b ( $a = 10^{-4}, b = 10^{-3}$ )			a = b ( $a = 10^{-3}, b = 10^{-3}$ )	
	$\frac{\pi}{6}$	$\frac{\pi}{4}$	$\frac{\pi}{3}$	$\frac{\pi}{6}$	$\frac{\pi}{4}$	$\frac{\pi}{3}$	$\frac{\pi}{6}$	$\frac{\pi}{4}$
10	$2 \cdot 10^4$	$3 \cdot 10^4$	$2 \cdot 10^4$	$2 \cdot 10^4$	$3 \cdot 10^4$	$2 \cdot 10^4$	$1 \cdot 10^4$	$2 \cdot 10^4$
20	346	391	328	473	504	420	279	295
30	28	28	20	85	79	61	48	42
50	-0,6	-0,7	-2,3	21	17,3	12	11	8,4
100	-0,2	-0,6	-0,9	4,9	3,9	2,7	2,6	1,9
150	-0,09	-0,3	-0,4	2,1	1,7	1,2	1,1	0,8
200	-0,05	-0,2	-0,2	1,2	0,9	0,7	0,6	0,5
300	-0,02	-0,07	-0,1	0,5	0,4	0,3	0,3	0,2



სურ. 6.9. წნევის ცვლილების დამოკიდებულება მანძილზე რელიეფის სხვადასხვა კონფიგურაციის დროს როცა, ადვექციის გავრცელება სხვადასხვა მიმართულებით არის არაერთგვაროვანი.



სურ. 6.10. წნევის ცვლილების დამოკიდებულება მანძილზე და კუთხეზე (შემთხ.  $a < b$ ) როცა, ადგექციის გავრცელება სხვადასხვა მიმართულებით არის არაერთგვაროვანი.



სურ. 6.11. წნევის ცვლილების დამოკიდებულება მანძილზე და კუთხეზე (შემთხ.  $a < b$ ) როცა, ადგექციის გავრცელება სხვადასხვა მიმართულებით არის არაერთგვაროვანი.

7. ქარის რეჟიმი საქართველოს ზოგიერთი რეგიონებისათვის ბოლო ორმოცდათი წლის მანძილზე.

ქარის ბუნების შესახებ დამატებით ავღნიშნავთ, რომ. ქარი იწვევს მნიშვნელოვან ნგრევას 10-12გ/წმ სიჩქარის დროსაც კი, აზიანებს ელექტროგაეგანილობას და კავშირგაბმულობის საშუალებებს; 35 გ/წმ სიჩქარის ზემოთ ზიანს აყენებს კაპიტალურ შენობებს; არ არსებობს შენობა-ნაგებობა, რომელიც უძლებს 90 გ/წმ სიჩქარის ქარს. ქარის სიჩქარის და მიმართულების ცვლილება ერთ-ერთი მთავარი

ფაქტორია ამინდის ჩამოყალიბებაში; იგი არის ენერგიის სუფთა წყარო; ადამიანს კომფორტულად არსებობის საშუალება აქვს -(2-3)მ/წმ სიჩქარის ქარის დროს. ქარმა შეიძლება ასობით ტონა მტკერი გადაიტანოს ერთი ადგილიდან მეორეზე და გააძლიეროს ნიადაგის გაშრობა-გაუდაბნოვება.. ყოველივე აქედან გამომდინარე, ნათლად ჩანს ლოკალურ-რეგიონალურ პირობებში ძლიერი ქარის რეჟიმის შესწავლის თეორიული და პრაქტიკული მნიშვნელობა.

ქარის სიჩქარის სიგრცული განაწილების კანონზომიერებანი საკმარისად დიდი ხნის წინ იქნა თეორიულად შესწავლილი [3, 14, 15], ბოლო წლებში კი შექმნილია არაერთი ფიზიკურ-მათემატიკური მოდელი, რომელშიც განსაზღვრული იქნა ქარის ბუნება ლოკალურ რეგიონში, მათ შორის მთა-გორიან ტერიტორიაზე [3, 15-17]. რაც შეეხება ცალკეულ რეგიონებზე ქარის ველის დეტალურ შესწავლას სტატისტიკური მიდგომით, აქ შრომების მცირე რაოდენობაა, აქედან გამომდინარე ჩვენი შრომის მიზანია ქარზე, ბოლო 50 წლის მეტეოროლოგიური დაკვირვების მასალით დავახასიათოთ მისი რეჟიმი საქართველოს სხვადასხვა ტერიტორიაზე. წარმოდგენილ შრომაში მოყვანილია მხოლოდ ქუთაისის რეგიონზე გაბატონებული ქარის რეჟიმის შესწავლა სტატისტიკური მიდგომით.

ქარის ველის შესწავლის თეორიული საფუძველი არის ატმოსფეროს ჰიდროერმოდინამიკა და ამ მხრივ მრავალი ათეული შრომაა შესრულებული ქართველი მეცნიერების მიერ [1-17]. ამასთანავე, თვით ქარის ბუნებიდან გამომდინარე, მისი მრავალგვარი ვარიაციების ანალიზისათვის დიდი მნიშვნელობა აქვს სტატისტიკურ მიდგომას. ჩვენი მიზანია დავადგინოთ ძლიერი ქარის ბუნება (15 მ/წმ) მეორე მიდგომით საქართველოს სხვადასხვა, ერთმანეთისგან განსხვავებულ ტერიტორიაზე. ქარი ჰაერის მასების პორიზონტალური გადაადგილებაა და აქვს სიგრცეში სიჩქარის სამი მდგრენელი. ქარი სხვადასხვა ფაქტორების ზეგავლენით დიდ ცვლილებას განიცდის. ქარი დროის უმცირეს მონაკვეთში შეიძლება მეტად განსხვავებული სიძლიერით უბერავდეს და მიმართულებას იცვლიდეს. ეს ცვლილება განსაკუთრებით მკაფიოდ მიწისპირა ფენაში, ძირითადად ოროგრაფიის გავლენით. ჰაერის დინება - ქარი ბიძგების სახით კულსაციას განიცდის, რაც ცნობილია ქარის სიმძლავრის (სიმძაფრის) სახელწოდებით. ეს სიძლიერე დამოკიდებულია ჰაერის კორიენტულ - ტურბულენციურ ბუნებაზე და მისი სიმძლავრის ზომად შეიძლება მივიღოთ დროის გარკვეულ შუალედში (წუთი, საათი, დღე-დამე, დეკადა, თვე) ბიძგების მაქსიმუმ და მინიმალურ სიჩქარეთა სხვაობის შეფარდება დროის იმავე მონაკვეთის სიჩქარის საშუალო მნიშვნელობასთან. ამრიგად,

$$B = \frac{V_{\max} - V_{\min}}{V_{\text{სამ}}}$$

ამ ჰარამეტრს უწოდებენ ქარის სიჩქარის დინამიკური მდგრადობის პარამეტრს. ზოგადად რაც დიდია სიჩქარე, მით მეტია ეს ჰარამეტრი, ასევე დიდ მნიშვნელობას დებულობს გაზაფხულზე და შემოდგომაზე, მინიმალურს ზაფხულში; დღის საათებში სიმძლავრე მატულობს, ხოლო დამით კლებულობს. გარდა ამისა ჰაერის ტურბულენციური მოძრაობა და აქედან გამომდინარე, ქარის სიმძაფრე დამოკიდებულია ატმოსფეროს ტემპერატურულ სტრატიფიკაციაზე, ამიტომ ჰარამეტრის ანალოგიურად, შემოვიტანეთ თერმიული მდგრადობის ჰარამეტრიც:

$$A = \frac{T_{max} - T_{min}}{T_{\text{avg}}}$$

სადაც A არის B არის დინამიკური მდგრადობის პარამეტრი, A – თერმული მდგრადობის პარამეტრია.

ვინაიდან ანომომეტრული ჩანაწერები პრაქტიკულად ადარ არსებობს (რომელიც ქარის ბიძგით მნიშვნელობას წერდა), ამიტომ ძლიერი ქარის სიმძაფრის პარამეტრების გამოსათვლელად, მათი მნიშვნელობების და მათემატიკური სტატისტიკის ცნობილი მეთოდების გამოყენებით, ქარის ვალის სტრუქტურის შესწავლის მიზნით განხორციელდა შემდეგი კვლევა[24].

საქართველოს ტერიტორიაზე ავირჩიეთ თერმიული და დინამიკური პირობებით განსხვავებული ქუთაისის, თბილისის და თელავის რეგიონი. ქარის სიჩქარეზე დაკვირვებული 50 წლიანი მასალა დამუშავდა. შეიძლება ბიძგითი მნიშვნელობების მკაფიოდ გამოკვეთისათვის ქარის სიჩქარის მნიშვნელობები დაყოფილი იქნა 5მ/წმ ინტერვალის გრადაციებად, 15 მ/წმ სიდიდიდან ზემოთ. შესაბამისად, გვექნება წნევის, ტემპერატურის (მაქსიმალური, მინიმალური, საშუალო) და სინოტივის მნიშვნელობები.

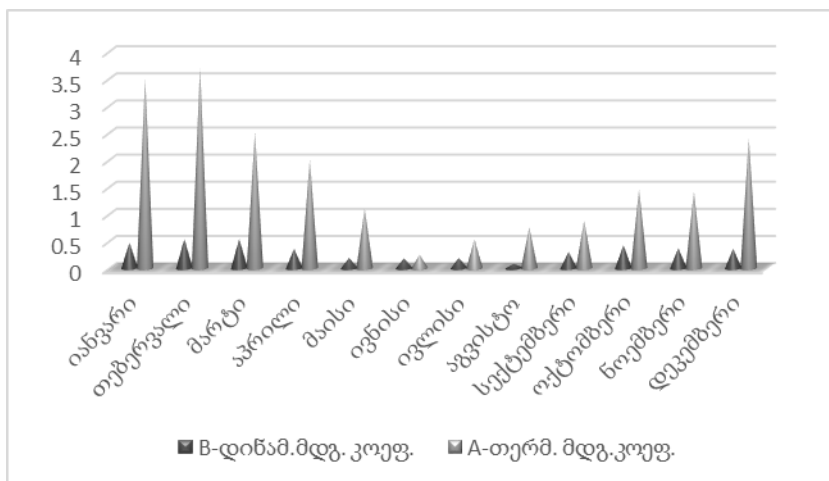
ქარის სიჩქარეები დაგვაგით 5 მ/წმ შუალედებად და შევისწავლეთ ქარის სიჩქარის განმეორებადობა თითოეული ინტერვალისათვის. ცხრილ 1. –ზე მოცემულია ქარის სიჩქარეთა განმეორებადობა მხოლოდ ორი ინტერვალისთვის 16-20 და 25-29 მ/წმ . როგორც ცხრილიდან ჩანს ყველაზე დიდია ქარის სიჩქარეთა მნიშვნელობები 16-20 მ/წმ ინტერვალისათვის, ხოლო შედარებით იშვიათი ქარები გვაქვს ქარის სიჩქარის 25-29 მ/წმ შუალედისათვის, თუმცა ზოგადად ჩატარებული ანალიზის საფუძველზე შეიძლენა ვთქვათ, რომ 16-20 მ/წმ ინტერვალში ქარი ძირითადად გვაქვს თებერვალ-მარტში, ხოლო 25-29 მ/წმ ინტერვალში ქარი გვხვდება იანვარ-მარტში , თუმცა ასებობს გამონაკლისი შემთხვევებიც.

ცხრილი 7.1. ქარის სიჩქარის განმეორებადობა თვეების მიხედვით ქუთაისის რეგიონისათვის.

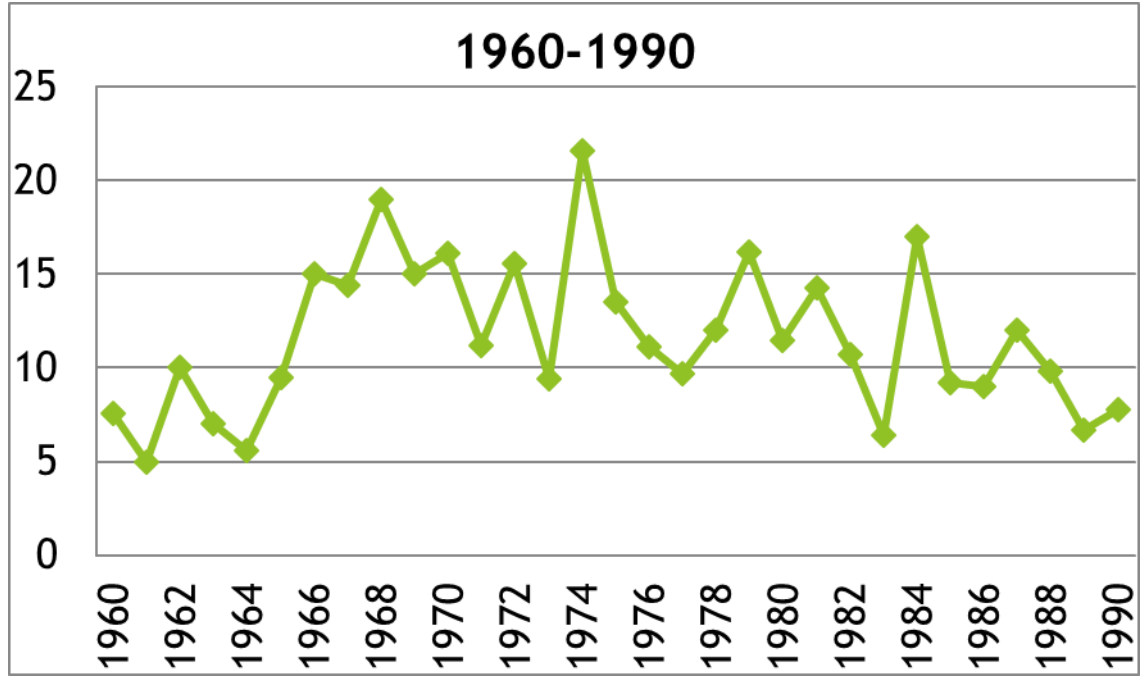
ქარის სიჩქარის განმეორებადობა 16-20 მ/წმ ინტერვალში												
წლები	I	II	III	IV	V	VI	VII	VIII	IX	X	XI	XII
1960	16	7	2	2	10	0	6	0	5	7	23	13
1965	27	11	12	11	11	0	0	12	11	4	4	11
1970	35	26	29	26	14	11	6	0	11	17	8	11
1975	7	21	13	16	6	14	2	7	7	29	20	20
1980	18	13	33	2	8	7	9	3	9	23	4	9
1985	15	0	16	17	13	0	2	11	2	14	14	6
1990	6	3	1	9	19	5	0	0	11	14	2	24
ქარის სიჩქარის განმეორებადობა 25-29 მ/წმ ინტერვალში												
1984	2	3	5	0	0	1	0	0	0	0	2	5

1989	1	0	1	1	0	0	0	0	0	0	2	0
1994	1	0	0	2	0	0	0	0	2	1	0	0
1999	1	0	2	1	0	0	1	0	1	0	1	3
2004	1	0	0	0	0	0	0	0	0	1	0	0
2009	1	0	0	0	0	0	0	0	2	0	3	1
2014	6	0	3	1	0	0	0	0	0	0	0	0

როგორც ზემოთ ავღნიშნეთ , ქარის ველის სტატისტიკური დახასიათებისათვის შემოღებულია დინამიკური (B) და თერმული მდგრადობის (A) კოეფიციენტები, ჩვენ გამოვთვალეთ მათი საშუალო მნიშვნელობები წლების განმავლობაში, 1984-2014 წლებისათვის როცა ქარის სიჩქარე  $V > 25$  მ/წმ-ზე მეტია დინამიკური და თერმული მდგრადობის საშუალო მნიშვნელობები არის შესაბამისად 0,4 და 1,7, ხოლო რაც შეეხება მათ ყოველწლიურ ცვლილებას სინქრონულია ოდნავ ფაზაში წანაცვლებით (ნახ.7 1).

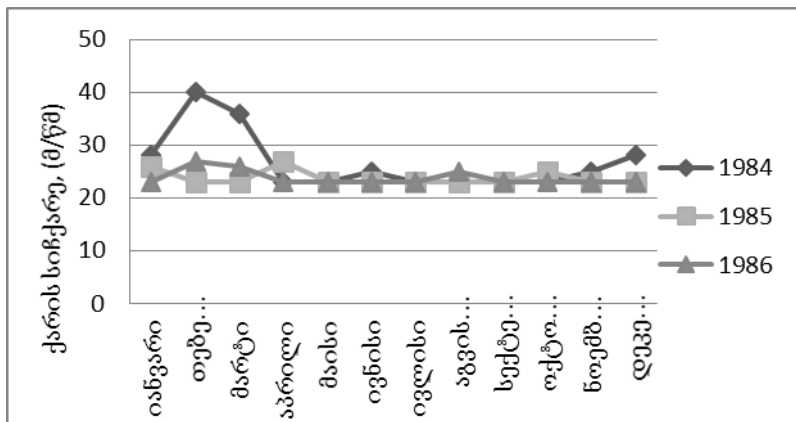


ნახ. 7.1. დინამიკური და თერმული მდგრადობის კოეფიციენტების განაწილება 1984-2014 წლებისათვის (ქარის სიჩქარე  $V > 25$  მ/წმ).

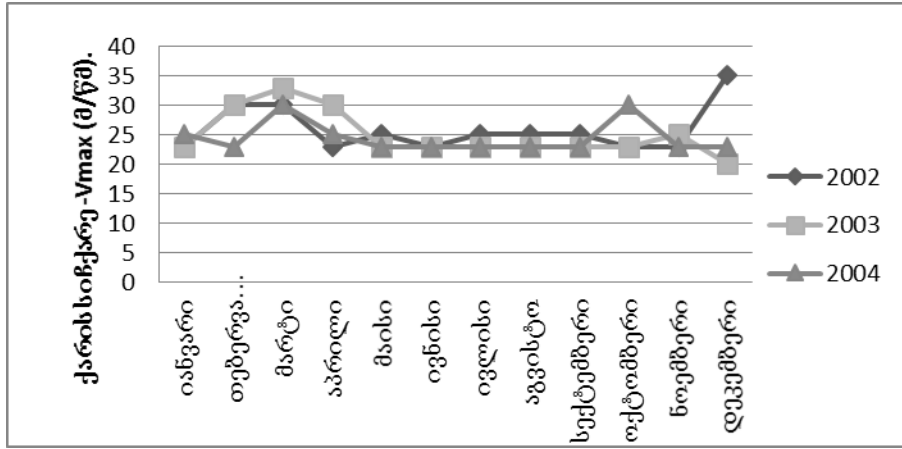


ნახ. 7.2. ქარის მაქსიმალური სიჩქარის განაწილება წლების მიხედვით.

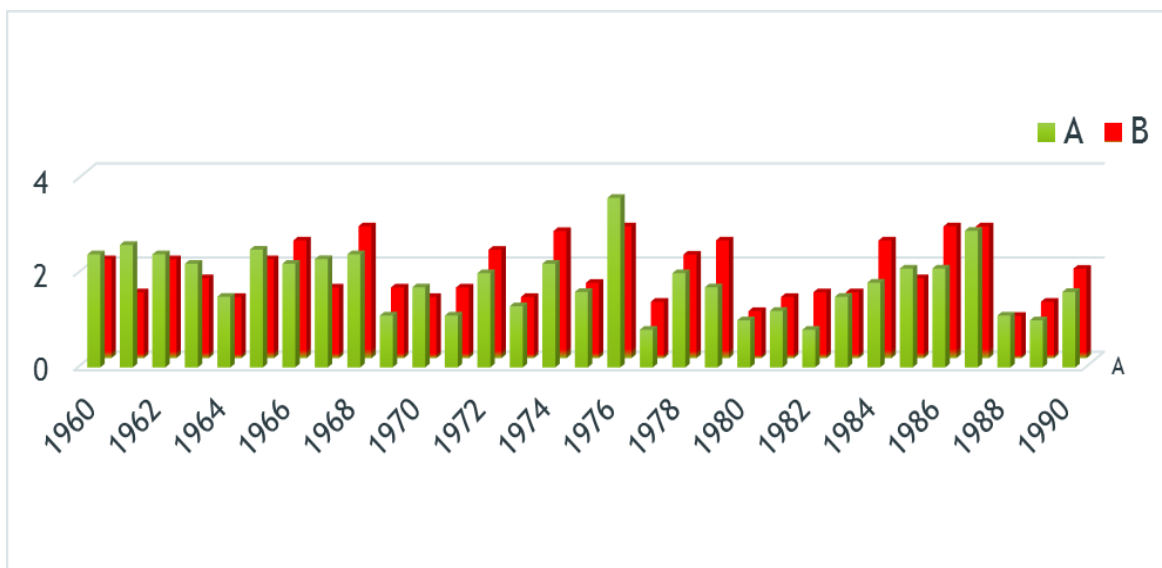
თვეების მიხედვით ქარის მაქსიმალურ სიჩქარის ცვლილება , როგორც მოსალოდნელი იყო ატარებს თითქმის სინუსოიდურ ფორმას , ქარის მაქსიმალური მნიშვნელობები დაფიქსირებულია თებერვალ- მარტში, ხოლო მინიმალური იცლის ში (ნახ. 2, 3).



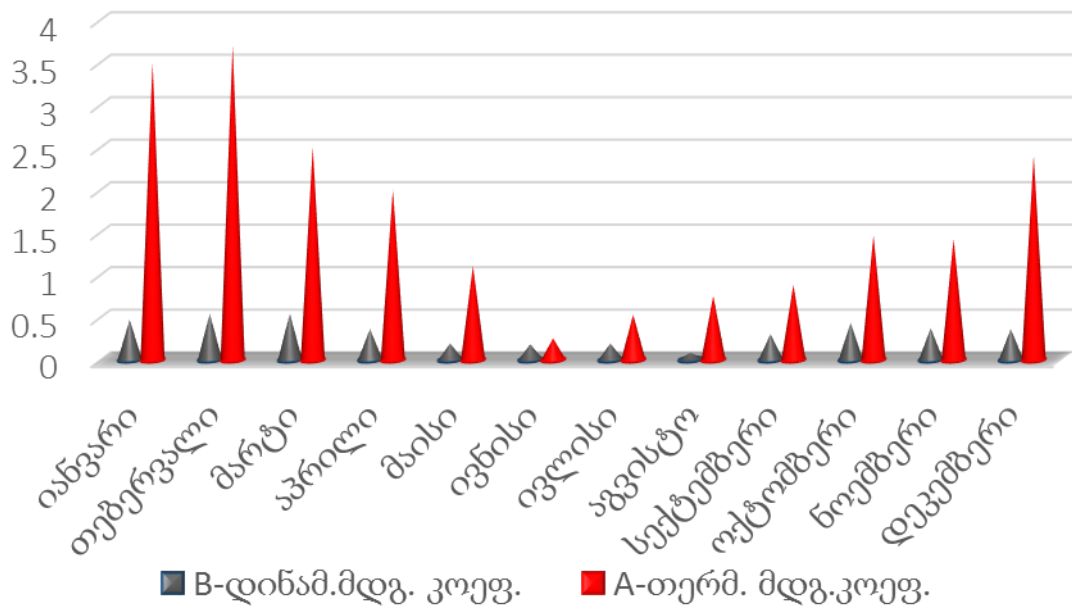
ნახ. 7.3. ქარის სიჩქარების განაწილება თვეების მიხედვით 1984-1986 წ.წ. ქუთაისის რეგიონისათვის.



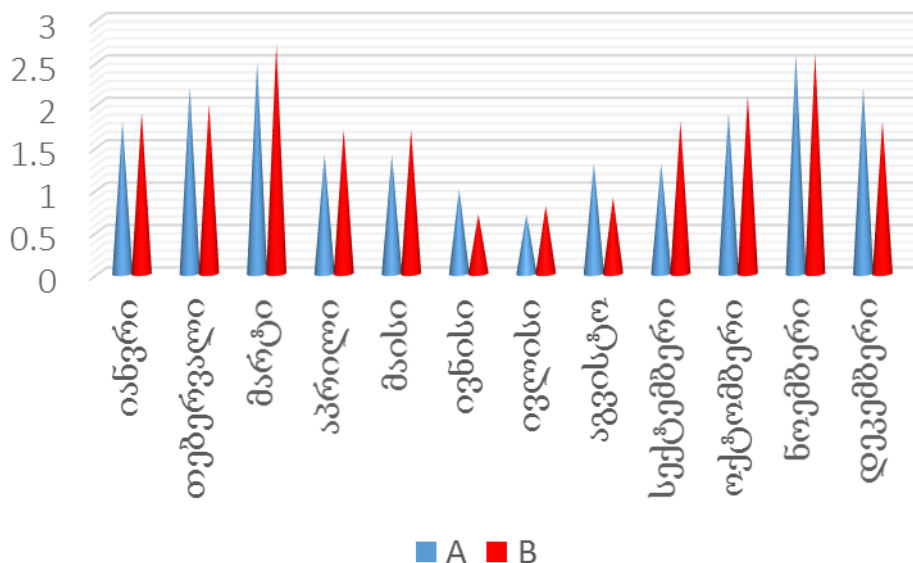
ნახ. 7.4. ქარის სიჩქარების განაწილება თვეების მიხედვით 2002-2004 წ.წ. ქუთაისის რეგიონისათვის.



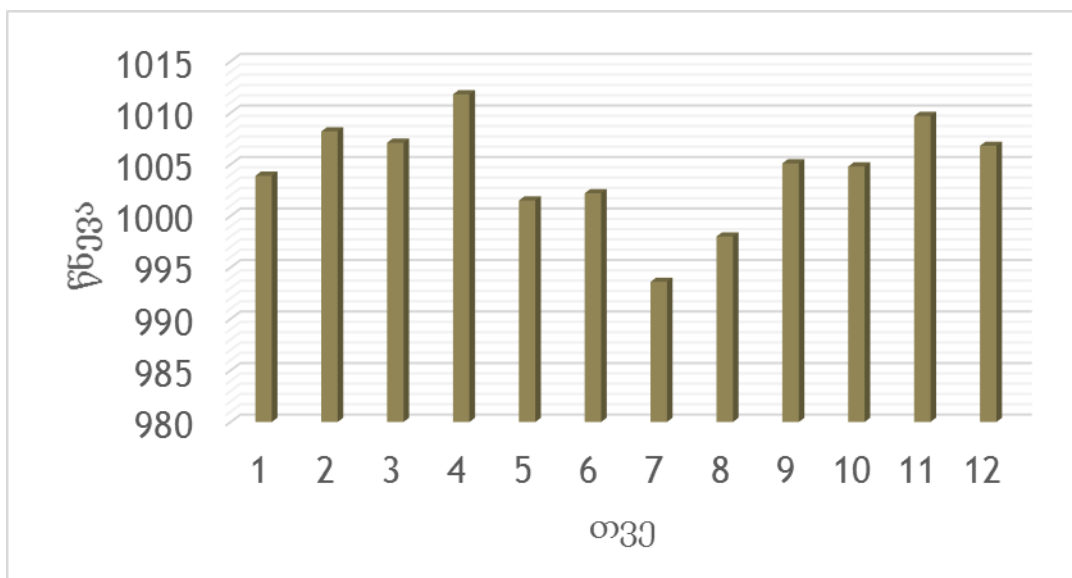
ნახ. 7.5. A და B კოეფიციენტების საშუალო მნიშვნელობების განაწილება წლების მიხედვით (ქარის სიჩქარის 16-20 მ/წმ -სათვის).



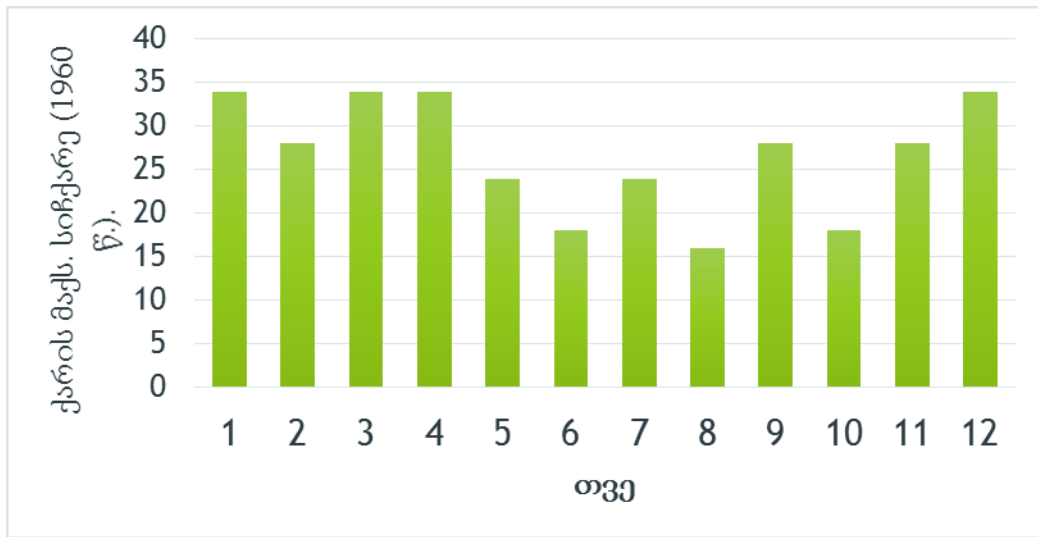
ნახ. 7.6. დინამიკური და თერმული მდგრადობის კოეფიციენტების განაწილება 1984-2014 წლებისათვის (ქარის სიჩქარე  $V > 25$  მ/წმ).



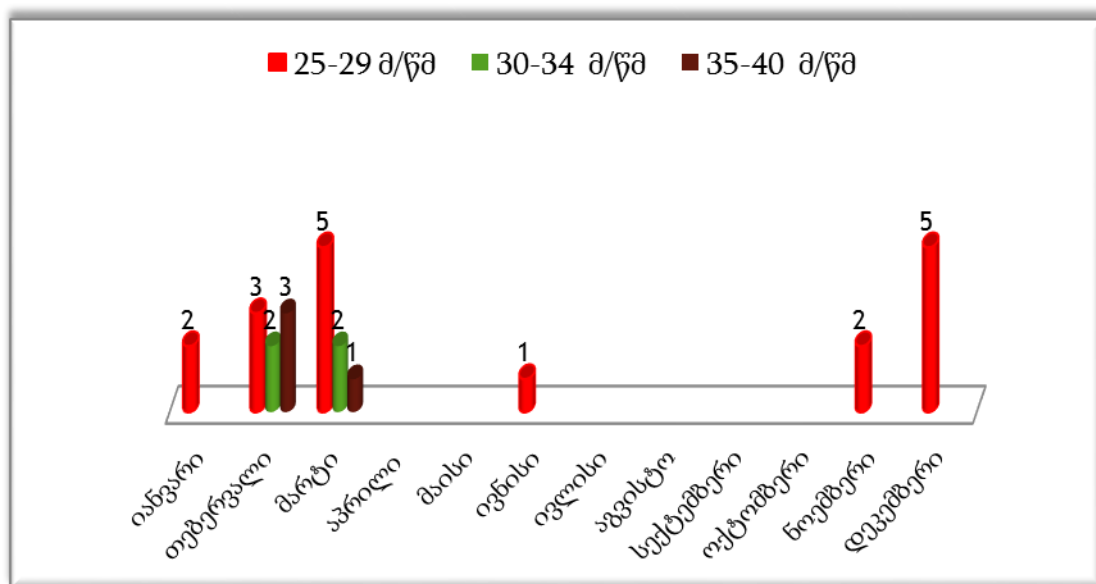
სურ .7.7. A და B კოეფიციენტების საშუალო მნიშვნელობების განაწილება თვეების მიხედვით (ქარის სიჩქარის 16-20 მ/წმ -სათვის).



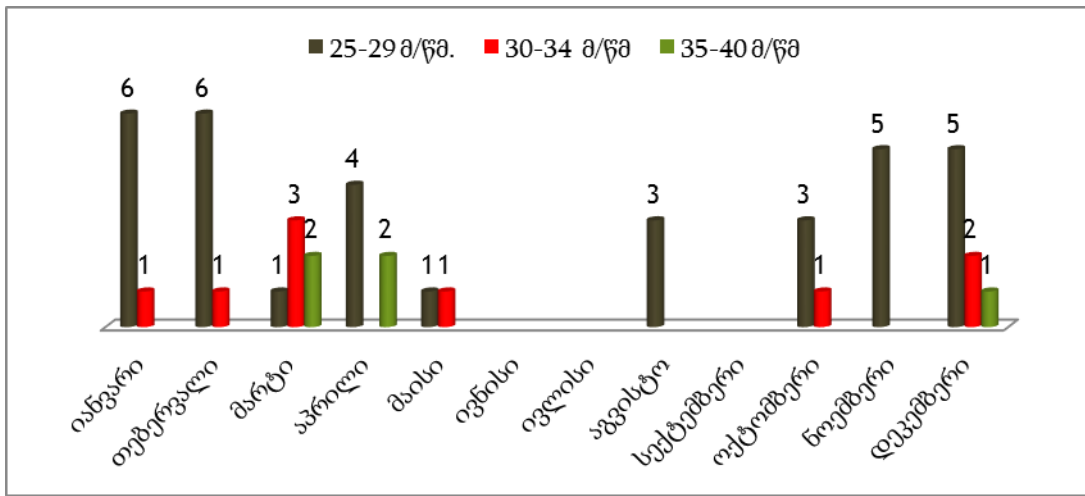
ნახ. 7.8. ქარის მაქსიმალური სიჩქარის შესაბამისი წნევის ცვლილება თვეების მიხედვით (1960 წ.).



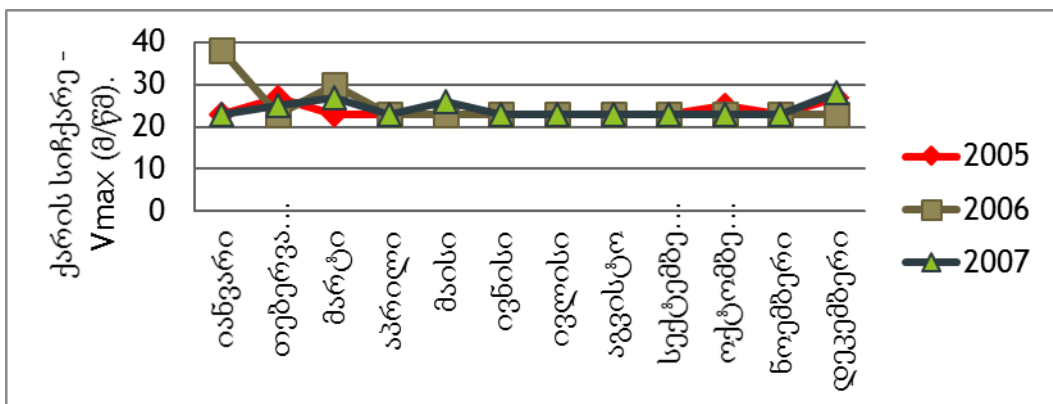
ნახ. 7.9. ქარის მაქსიმალური სიჩქარეების განაწილება თვეების მიხედვით (1960).



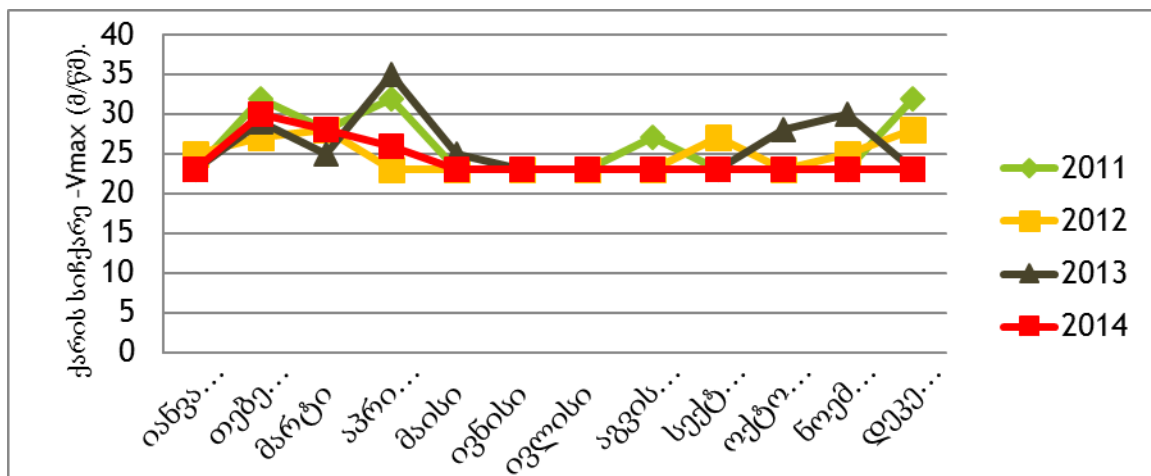
ნახ. 7.10. ქარის მაქსიმალური სიჩქარეების სიხშირული განაწილება თვეების მიხედვით 1984 წლისათვის.



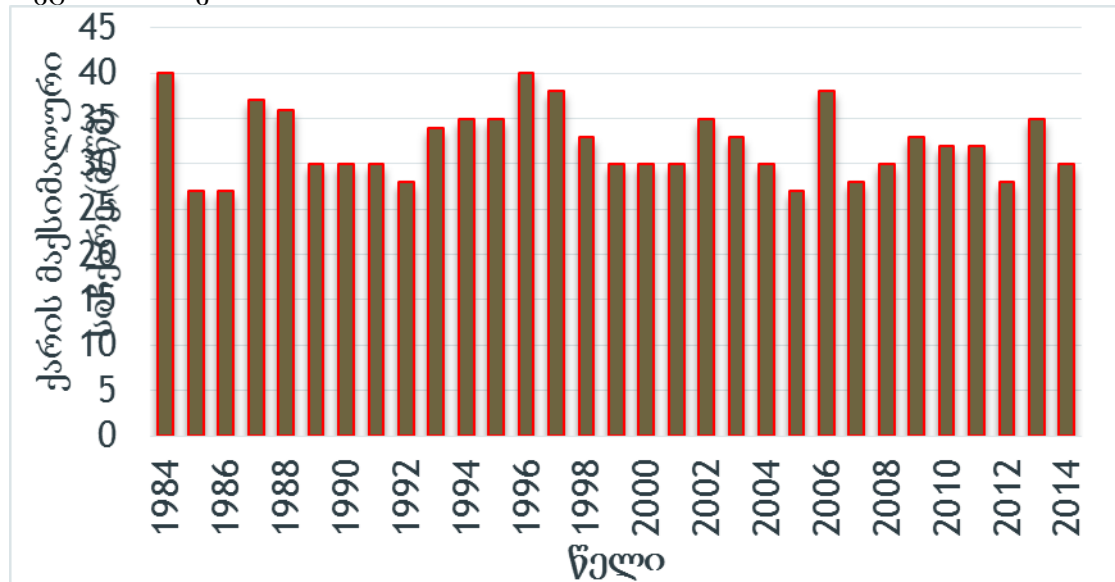
ნახ. 7.11. ქარის მაქსიმალური სიჩქარეების სიხშირული განაწილება თვეების მიხედვით 1996 წლისათვის.



ნახ. 7.12. ქარის სიჩქარეების განაწილება თვეების მიხედვით ქუთაისის რეგიონისათვის.



ნახ. 7.13. ქარის სიჩქარების განაწილება თვეების მიხედვით ქუთაისის რეგიონისათვის.



ნახ. 7.14. ქარის მაქსიმალური სიჩქარის (25 მ/წმ –ს ზემოთ) განაწილება წლების მიხედვით ქუთაისის რეგიონისათვის.

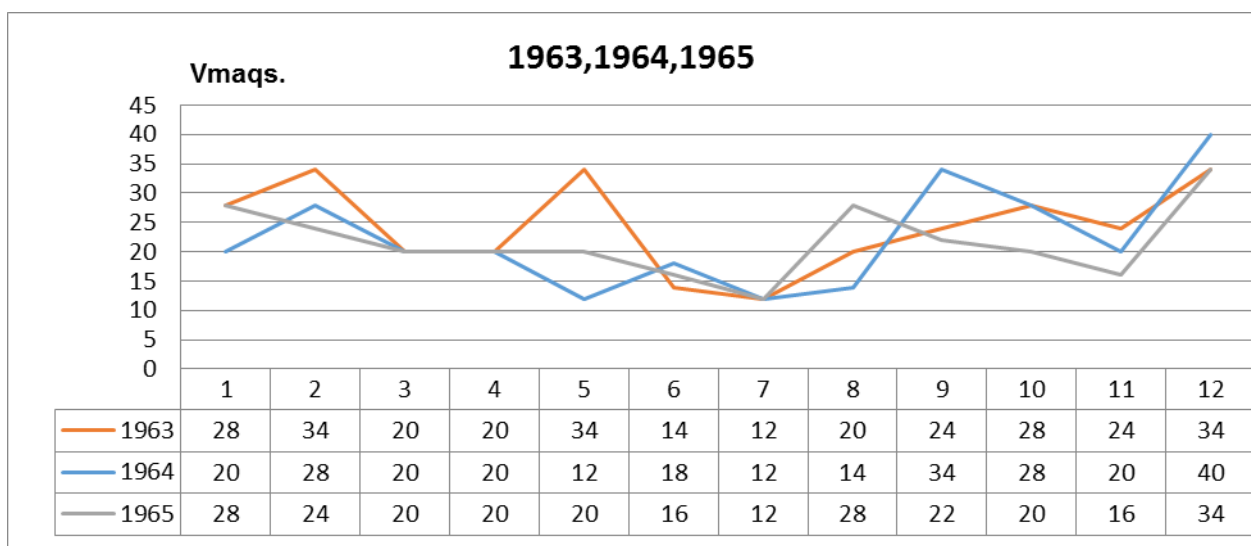
7.2 ქარის ექსტრემალური მნიშვნელობები ხუთწლიანი და ათწლიანი შეაღედებით.

5-წლიანი შეაღედი	თვე	დღე	V მაქს.
1960-1964 / 1964	XII	8/9	40 / 40
1965-1969 / 1969	I	6	43
1970-1974 / 1970	III	10	39
1975-1979 / 1978	II	6/7	42/42
1980-1984 / 1984	II	7	37
1985-1990 / 1988	I	11	32
<b>საშ.</b>			<b>39</b>
<hr/>			
10-წლიანი შეაღ.			
1960-1969 / 1969	I	6	43
1970-1980 / 1970	III	10	39
1981-1990 / 1984	II	7	37
<b>საშ.</b>			<b>40</b>

7.3. ქარის ექსტრემალური მნიშვნელობები ხუთწლიანი და ათწლიანი შეაღედებით.

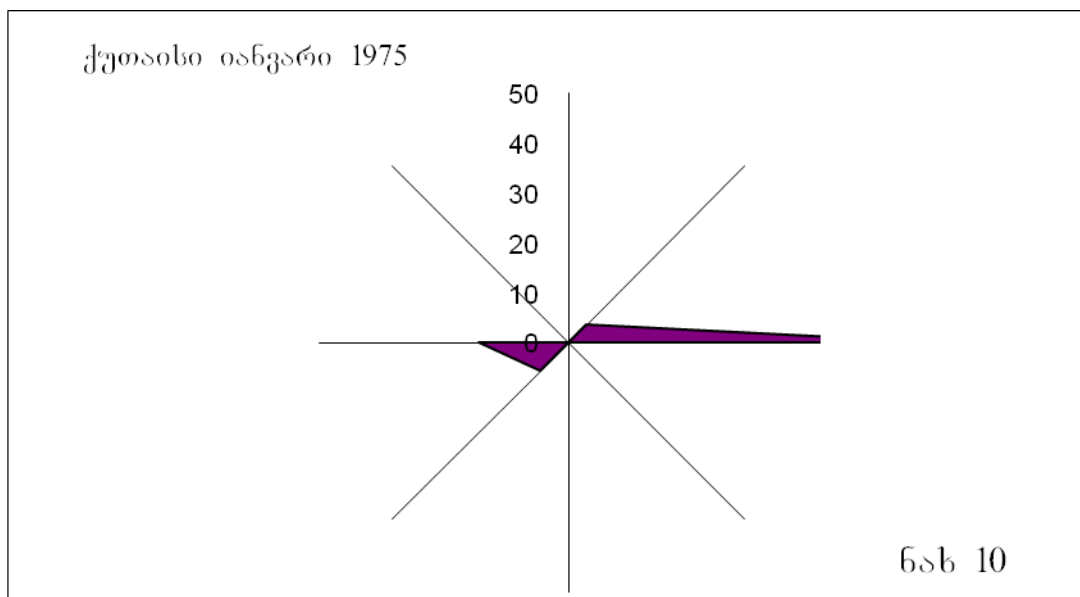
5-წლიანი შეაღედი	V მაქს.	V მინ.	
		მინ.	მაქს.
1960-1964	40	1	14
1965-1969	43	1	10
1970-1974	39	2	18

<b>1975-1979</b>	<b>42</b>	<b>1</b>	<b>8</b>
<b>1980-1984</b>	<b>37</b>	<b>2</b>	<b>10</b>
<b>1985-1990</b>	<b>32</b>	<b>2</b>	<b>10</b>
<b>საშ.</b>	<b>39</b>	<b>2</b>	<b>12</b>
10-წლიანი შუალ.			
<b>1960-1969</b>	<b>43</b>	<b>1</b>	<b>10</b>
<b>1970-1980</b>	<b>39</b>	<b>1</b>	<b>8</b>
<b>1981-1990</b>	<b>37</b>	<b>2</b>	<b>10</b>
<b>საშ.</b>	<b>40</b>	<b>1</b>	<b>9</b>

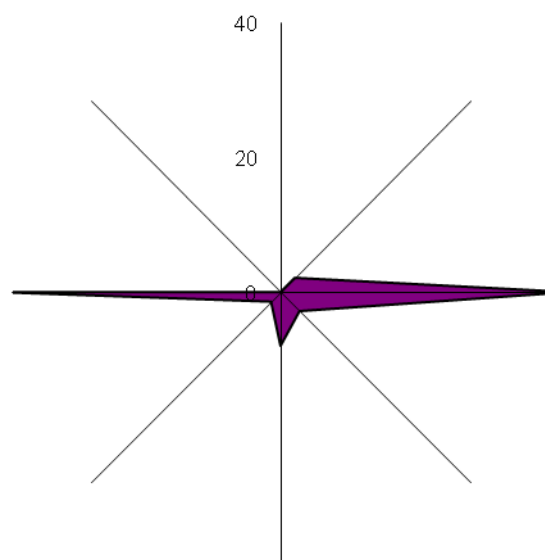


ნახ. 7.15. ქარის მაქსიმალური მნიშვნელობები თვეების მიხედვით

განსაზღვრული იქნა რეგიონში ქარის გაბატონებული მიმართულება შესაბამისი ქარის ვარდების აგებით, რაც შესაძლებლობას იძლევა რეკომენდაცია მიეცეს განხილულ რეგიონზე ქარის დამცველი ზონების ოპტიმალურ განაშენიანებას (ნახ. 6.15).

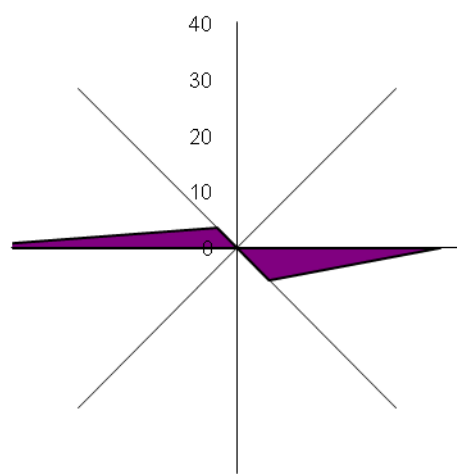


ქუთაისი მაისი 1975



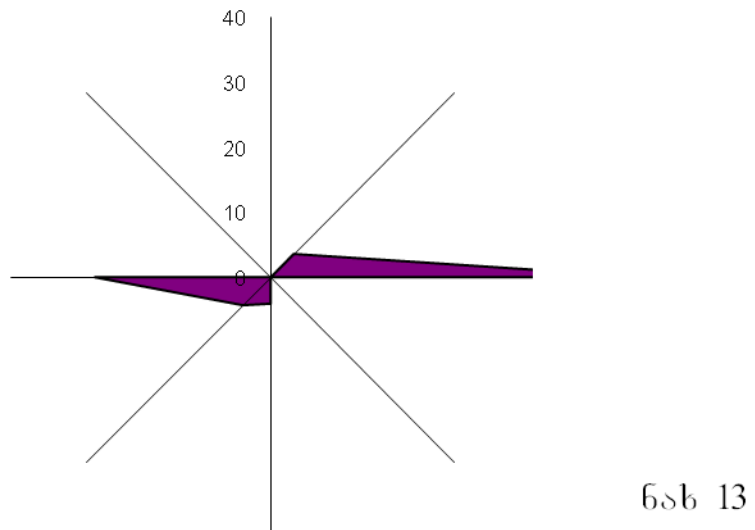
68b 11

ქუთაისი აგვისტო 1975

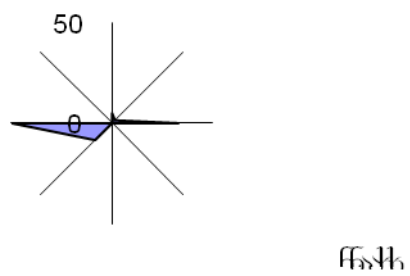


68b 12

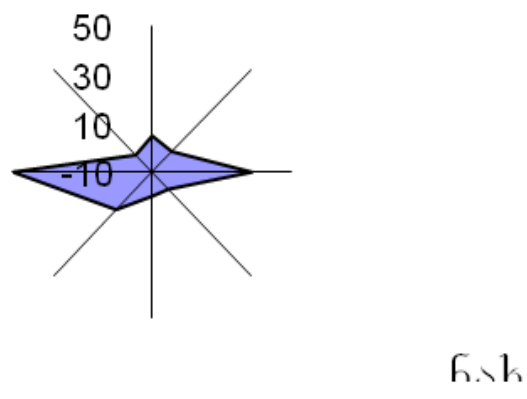
ქუთაისი თქმილები 1975

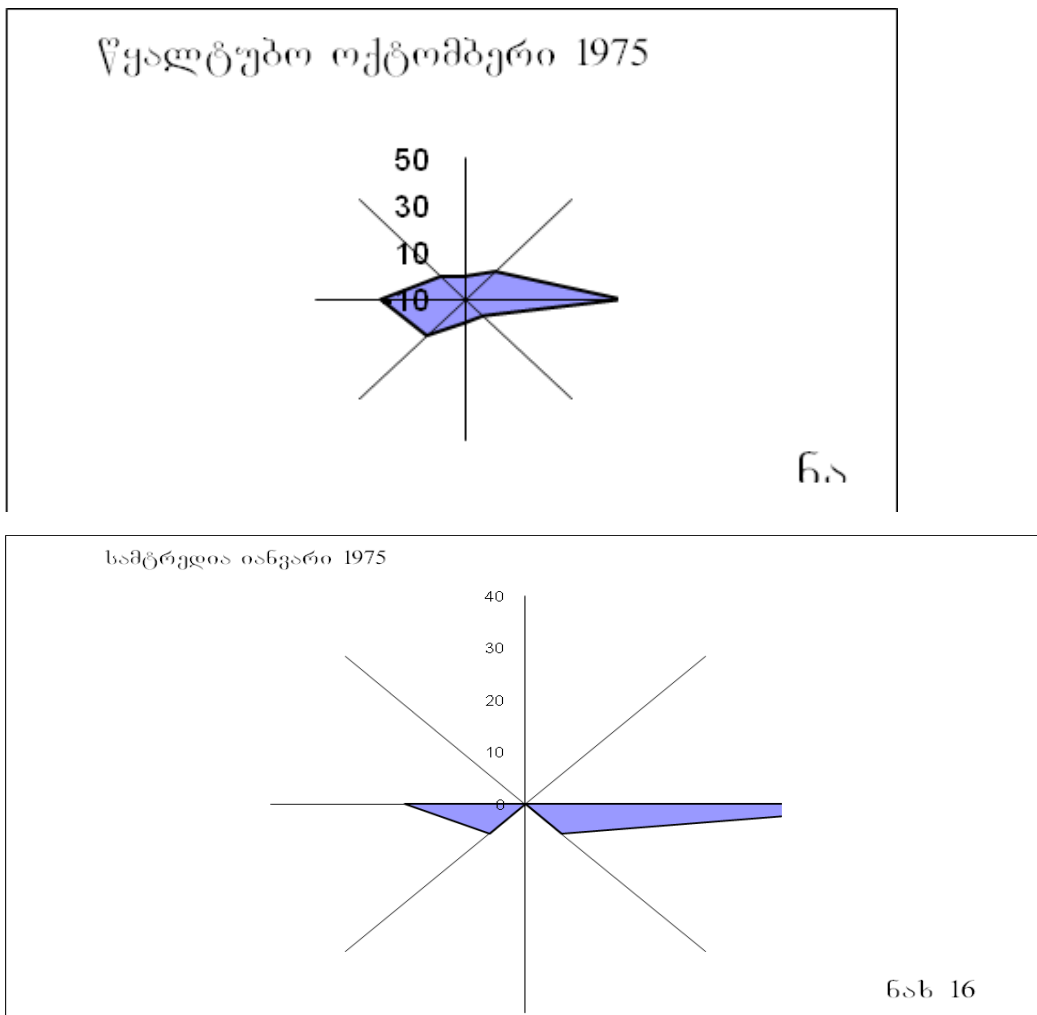


ხონი თქმილები 1975



წყალტუბო აგვისტო 1975





ნახ. 7.16. ქარის ვარდები საქართველოს ზოგიერთი რეგიონებისათვის (10-16).

**დასკვნა:**

- 1.დამტკიცებულია ,რომ ქარის გრიგალურ ველში (ქარბორბალა) წნევა იზრდება ბრუნვის ღერძიდან დაშორების მანძილის კვადრატის პროპორციულად.მაქსიმალურია პერიფერიაში და მინიმალური ბრუნვის ღერძის გასწვრივ.
- 2.ჰაერის ნაკადის მიმართულებით წინააღმდეგობის შეხვედრისას ადგილი აქვს ჩახვეულობების (გრიგალური) წარმოქმნას და ნაკადის შემობრუნებას და გარსდენის გაძლიერებას მეტეოროლოგიური სიტუაციის მიხედვით ( სურამის პლატოზე).
- 3.გარეჯის ტაფობში მთელი წლის განმავლობაში უნალექობა, ჰაერის მაღალი ტემპერატურა, ქარის მუდმივი ქროლვა ტაფობიდან გარეუბნისაკენ, მთებზე ტაფობის გარშემო თბილი და გრილი მასების შემოდინება და ხშირად გროვა-საწვიმარი დრუბლების წარმოშობა თეორიულად დასაბუთებულია.

4.მთა-ხეობებში ჰაერის ნაკადის სიჩქარე და სიმძლავრე ფსკერის რელიეფის მახასიათებელ სიდიდეზე დამოკიდებულია მისი კვადრატის უკუპროპორციულად. ამრიგად, არხში-ხეობაში ფსკერის რელიეფის გავლენის გათვალისწინებით მცირდება როგორც ნაკადის სიჩქარე, ასევე ინტენსიონის რაოდენობა.

5 ჰაერის ნაკადის გრიგალური დინებისას წნევა კლებულობს ცენტრისკენ მანძილის კვადრატის უკუპროპორციულად. ამასთანავე ხდება ჰაერის (წყლის) ნაკადის შეწოვა ცენტრისკენ. ეს ფაქტიც აგრეთვე ხელს უწყობს დინების ნაკადში არსებულ დამჭუჭყიანებელი მინარევების გადატანა-გაფანტვის შესუსტებას. სწორედ ქარის „გრიგალური“ სიჩქარის ასეთი თვისებით აისხება „ქარბორბალას“ წარმოქმნა.

6 მიწისპირა ფენაში გამოკვლეულია ქარის ველის ბუნება ოროგრაფიის გათვალისწინებით, ამ მეთოდოთ განსაზღვრული ქარის სიჩქარე ახლოს არის ოპერატიულ პრაქტიკაში მიღებულ სიდიდესთან,

7. ქარის ვერტიკალური მდგრენელის განსაზღვრისათვის პირველად არის მიღებული ფორმულა, რომელიც ოროგრაფიულ ეფექტს შეიცავს და მისი გამოყენება მნიშვნელოვანია მთა-გორიანი ტერიტორიისათვის. ასევე ახალი მიდგომა ვერტიკალური სიჩქარის განსაზღვრისათვის „სამკუთხედის“ მეთოდის გამოყენება.

8.ქარის სიჩქარის სტატისტიკური შესწავლის გზით დადგინდა, რომ 16-20 მ/წმ სიჩქარის მნიშვნელობები მაქსიმალურია მარტში, აპრილში და ნოემბერში. ხოლო მინიმალურია ზაფხულში, კერძოდ ივნისში. ყველაზე ინტენსიურია ქარის სიჩქარეთა მნიშვნელობები 16-20 მ/წმ ინტერვალისათვის, ხოლო შედარებით იშვიათი ქარები გვაქვს ქარის სიჩქარის 25-29 მ/წმ შუალედისათვის, ამ დიაპაზონის ქარის სიჩქარე წლების მიხედვით იწვევს წანაცვლებას ერთი თვის ფარგლებში, მაგ. 1960 წელს მაქსიმალური ქარი იყო მარტში, აპრილში და დეკემბერში. ხოლო 1961 წელს მაქსიმალური ქარი დაფიქსირდა იანვარში, თებერვალში და სექტემბერში.

როგორც ქარის სიჩქარეებზე ჩატარებულმა ანალიზმა აჩვენა ქარის სიჩქარეები 25 - 40 მ/წმ-ის ინტერვალში დაფიქსირებულია ძირითადად თებერვალ-მარტში და ოქტომბერ-ნოემბერში, თუმცა არის გამონაკლისი შემთხვევებიც.

9. განსაზღვრული იქნა რეგიონში ქარის გაბატონებული მიმართულება(დასავლეთ- აღმოსავლეთი) შესაბამისი ქარის ვარდების აგებით, რაც შესაძლებლობას იძლევა რეგომენდაცია მიეცეს განხილულ რეგიონზე ქარის დამცველი ზონების ოპტიმალურ განაშენიანებას.

10დიდი სიმძლავრის აფეთქების დროს ნაკადის ქცევა დამოკიდებულია ქედის მიმართ ჰაერის ნაკადის მიმართულებაზე და რელიეფის ფიზიკურ მახასითებლებზე. რაც განაპირობებს შეშფოთებული ჰაერის ნაკადის წნევის ცვლილებას მანძილის მიხედვით. იმ შემთხვევაში, როდესაც ჰაერის ნაკადის გავრცელება ხდება მხოლოდ პორიზონტალური მიმართულებით და რელიეფს არ ვითვალისწინებოთ, მაშინ მცირე დროში დიდი სიმძლავრით წარმოშობილი შეშფოთებული ნაკადის წნევის ცვლილება სწრაფად ეცემა (მანძილის მეექვსე ხარისხის უკუპროპორციულია). როდესაც ნაკადის გავრცელება ხდება მთა-გორიან ტერიტორიაზე და მაშინ წნევის ცვლილება მანძილის კვადრატის უკუპროპორციულია.

#### ლიტერატურა:

- 1) O. N. Фабрикант "Аэродинамика". Изд. "Наука", 1964г. с. 815. 70
- 2) R. Holton "Dynamic Meteorology" Fourth edition-university of Washington, 2004p. 533.76

- 3)Л. Матеев“ Основы общей метеорологии физика атмосферы“ Гидрометеологичое издатель. Ленинград ,1965г 3875. 77
- 4)Динамическая метеорология - под редакции Д . Лайхтмана , Л. гидрометиздат, 1976г , с 607. 78
- 5)ქ. ხვედელიძე „დინამიკური მეტეოროლოგია“ თსუ, გამომ. 2002წ, გვ. 535. 72
- 6)Динамическая метеорология - под редакции Д . Лайхтмана , Л. гидрометиздат, 1976г , с 607. 78
- 7) Modelling of atmospheric fields world scientific;Theorethical physic, 1996,p 755. 81
- 8)Н. Белов и др. "Численные методы прогноза почодве, Л., гидрометеоздат, 1989, с. 375. 73
- 9)М. Берлянд. "Современные проблемы атмосферной дифузии и загрязнения атмосферы", Л., 1гидрометеоздат, 1975, с. 449.
- 10) А Хргиан физика атмосферы том 2 л гидрометиздат 1978 с 315. 87
- 11) Л. Гандин, Д .Лайхтман, Л. Матвеев, М. Юдин „ Основы динамической метеорологии „Л . Гидрометиздат, 1055г. с639. 88
- 12) М. Берлянд. "Современные проблемы атмосферной дифузии и загрязнения атмосферы", Л., 1гидрометеоздат, 1975, с. 449.
- 13)ქ. ცომაია. „ჯატასტროფული წყალმოვარდნების მაქსიმალური ხარჯი მდ. რომელზე“. ქრონიკული ღვარცოფული და მომიჯნავე პრობლემებისადმი მიძღვნილი შრომები. საქ. მეც. აკადემიის ჰიდრომეტეოროლოგიური ინსტიტუტი. თბ., 2001. გვ. 227-228. 75
- 14)ზ.ხვედელიძე, დ. ჯანეზაშვილი „ რეგიონის მიკროკლიმატური პარამეტრებით ლოკალური ქარის რეჟიმის განსაზღვრა ატმოსფეროს მიწისპირა ფენაში“ ქართული ელექტრონული სამეცნიერო ჟურნალი „ფიზიკა“ (<http://gesj. Internet-academy. Org.ge/physic/>;2013, N 1(3) ,გვ. 65-76. 79
- 15)А. Аситашвили, К. Сапицкий, З. Хведелидзе“ Изучение локальной циркуляции ветра в районе Душети Грузинской С ССР“ Москва, метеорология и гидрология, 1968г. N 61,ст. 92-94.80
- 16)ზ. ხვედელიძე „ატმოსფერული პროცესების არამდგრადობის ენერგიის განსაზღვრა ლოკალური რელიეფის გავლენის გათვალისწინებით“ ქართული ელექტრონული სამეცნიერო ჟურნალი „ფიზიკა“ (<http://gesj. Internet-academy. Org.ge/physic/>;2014, N 1(11) გვ.30-38. 82
- 17)ა. კოტარია „მეტეოროლოგიის კურსი“ ,გამოცემლობა თსუ, 1992 წ, გვ.446. 83
- 18)З . Хведелидзе , Т . Шаламберидзе, Е. Тагвадзе , Р .Аплаков „ Изучение выхревых полей ветра на горной территории“ Москва ,“Экологические системы и приборы“ 11, 2009г,с 41-46.84
- 19)ზ.ხვედელიძე, დ. ჯანეზაშვილი „ რეგიონალური ატმოსფერული პრუცესების“ მადო ნური,, ბუნების შესახებ ლოკალურ რელიეფის გავლენის გათვალისწინებით“ ქართული ელექტრონული სამეცნიერო ჟურნალი „ფიზიკა“ (<http://gesj. Internet-academy. Org.ge/physic/>;2011, N 5 ,გვ. 102-112. 85
- 20) ი. სამხარაძე, ნ. ტატიშვილი, ზ. ხვედელიძე, თ. დავითაშვილი, ნ.ზოტიკიშვილი. „ ზოგიერთი ლოკალური მეტეოროლოგიური პროცესების მათემატიკური მოდელირება საქართველოს ვალკეული რეგიონებისათვის.“ საქართველოს ტექნიკური უნივერსიტეტის ჰიდრომეტეოროლოგიის ინსტიტუტი. ტ. 120. გვ. 10-15. 86
- 21) Z.Khvedelidze, T.Davitashvili, I.Samkharadze “Mathematical Modelling of the hydro-dynamical flows in a narrow canals with compound bottom”, Journal “Ecology and Appliances” Moscow, Russia, No.5, pp. 60-66, 2007.90

- 22)ხვედელიძე ზ.გ., ქლიუბარაშვილი ე.ქ. “რელიეფის გავლენა ატმოსფერულ პროცესებზე” თ.ს.უ. გამომცემლობა 1984წ. გვ.68 103
- 23)Khvedelidze Z. “The Structure of Baroclinic Waves With Account of the Earth’s Relied” Bulletin of the Georgian Academy Of Sciences, 166, 2002 p.70-75 105
- 24)ზ. ხვედელიძე, თ. დავითაშვილი, ი. სამხარაძე „ატმოსფეროში მძლავრი შეზფრთებების გავრცელების შესწავლა მათემატიკური მოდელირებით” საქართველოს ტექნიკური უნივერსიტეტის ჰიდრომეტეოროლოგიის ინსტიტუტის შრომები, ტ.№117. 2011წ. თბილისი. გვ. 145-148. 106
- 25) Samkharadze I., Khvedelidze Z., Davitashvili T. „On Pressure Drop Distribution at High Power Perturbation Over the Mountainous Territory “ Bulletin of the Georgian Academy of Sciences. Vol.9. № 3. 83-90.